

روزن داران کفزی و جلیک‌های آهکی سازند تیرگان در برش‌های طاهرآباد و اشلیر (خاور حوضه رسوی کپه‌داق): محدودیت‌ها و کاربردهای آن‌ها در مطالعات زیست‌چینه‌ای

سهیل همتی^۱، عباس قادری^{۲*}، علیرضا عاشوری^۳، مرتضی طاهرپور خلیل‌آباد^۴

۱- دانش آموخته کارشناسی ارشد چینه نگاری و دیرینه شناسی، گروه زمین‌شناسی، دانشگاه فردوسی مشهد، مشهد، ایران

۲- استادیار گروه زمین‌شناسی، دانشکده علوم، دانشگاه فردوسی مشهد، مشهد، ایران

۳- استاد گروه زمین‌شناسی، دانشکده علوم، دانشگاه فردوسی مشهد، مشهد، ایران

۴- باشگاه پژوهشگران جوان و تحبکان، واحد مشهد، دانشگاه آزاد اسلامی، مشهد، ایران

*پست الکترونیک: aghaderi@um.ac.ir

تاریخ پذیرش: ۹۵/۴/۵

تاریخ دریافت: ۹۴/۵/۲۶

چکیده

به منظور انجام مطالعات ریز دیرینه‌شناسی بر روی سازند تیرگان، دو برش چینه‌شناسی از این سازند در باختر روستای طاهرآباد و نیز در تاقدیس اشلیر، در خاور حوضه رسوی کپه‌داق انتخاب و نمونه‌برداری شده‌اند. سازند تیرگان در این برش‌های چینه‌شناسی عمدتاً مشکل از سنگ آهک‌های حاوی روزن داران کفزی و جلیک‌های آهکی فراوان همراه با میان لایه‌هایی از شیل‌های آهکی می‌باشد. سازند تیرگان در برش‌های طاهرآباد و تاقدیس اشلیر با گذر پیوسته و هم‌شبی، به ترتیب با سازند شوریجه در زیر و سازند سرچشم در بالا در برگرفته شده است. مطالعات ریز دیرینه‌شناسی انجام شده بر روی این سازند در برش طاهرآباد به شناسایی ۱۷ جنس و ۲۱ گونه از روزن داران کفزی و ۱۶ جنس و ۲۰ گونه از جلیک‌های آهکی و ریزمرجانیان و همچنین در برش تاقدیس اشلیر به شناسایی ۱۷ جنس و ۱۹ گونه از روزن داران کفزی و ۱۲ جنس و ۱۶ گونه از جلیک‌های آهکی و ریزمرجانیان منجر شده است. بر این اساس سه بیوزون Kopetdagaria و Balkhania balkhanica subzone، Palorbitolina lenticularis Range zone و sphaerica subzone در برش‌های چینه‌شناسی طاهرآباد و اشلیر معرفی شده‌اند که مؤید زمان بارمین پسین - آپتین پیشین می‌باشند. در شرایط نبود یا کمبود فونای اوریتولینیدی مناسب و شاخص، بیوزون‌های فوق کارکرد خوبی در تعیین سن طبقات سازند تیرگان و تعیین مرزهای زمانی پیرامون آن به ویژه در کپه‌داق خاوری دارند.

واژه‌های کلیدی: سازند تیرگان؛ طاهرآباد؛ تاقدیس اشلیر؛ روزن داران کفزی؛ جلیک‌های آهکی؛ کپه‌داق.

مقدمه

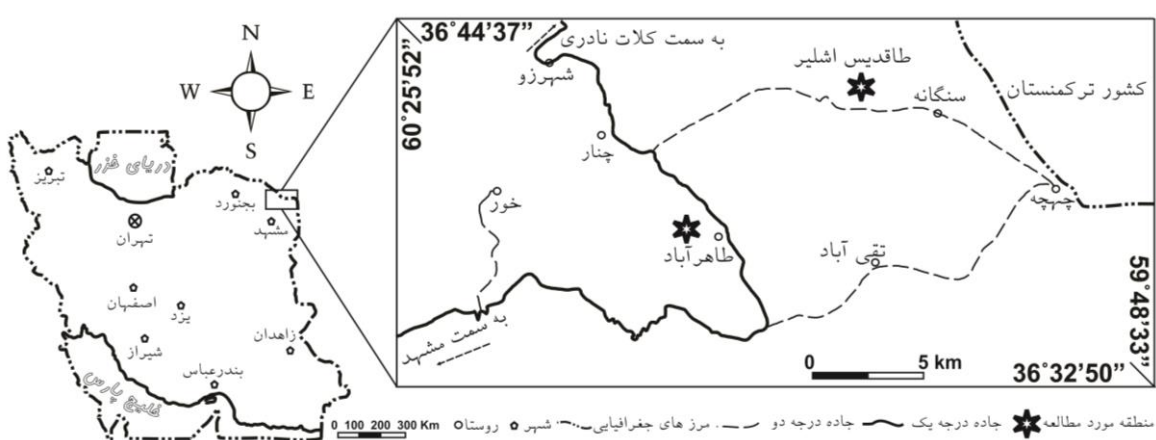
کپه‌داغ نوشته شده است)، مدنظر این پژوهش قرار گرفته است. سازند تیرگان یکی از واحدهای کربناته این حوضه ساختاری - رسوی است که با گذر نسبتاً تدریجی بر روی نهشته‌های سرخ رنگ آواری سازند شوریجه قرار گرفته و

مطالعه توالی‌های رسوی سازند تیرگان به عنوان یکی از واحدهای چینه‌شناسی چهره‌ساز، ستبرلايه و مهم حوضه کپه‌داق (کپه‌داق واژه‌ای با ریشه ترکی و به معنای کوه‌های تپه مانند است که در ادبیات زمین‌شناسی ایران به غلط

نظیر او وئیده است. جایگاه سنی توالی‌های سازند تیرگان موضوع بحث مقالات متعددی بوده است (به عنوان مثال: Kalantari, 1969؛ Rahaghi, 1976؛ ریوندی و همکاران، ۱۳۸۹؛ محققی و همکاران، ۱۳۹۰؛ خدادادی و هادوی، ۱۳۹۱؛ Taherpour *et al.*, 2010, 2013) و در هر یک از این مطالعات تقریباً سن همکاران، ۱۳۹۴) و در هر یک از این مطالعات تقریباً سن متفاوتی برای این سازند ارائه شده است. این امر سبب شده تا علاوه بر مواجهه با داده‌های متنوع، پیچیدگی‌های چینه نگاری زیستی و زمانی این سازند نیز افزایش یابد. هدف پژوهش حاضر معرفی این مشکلات و تلاش برای ارائه راهکار مناسبی برای تعیین سن این توالی‌ها حداقل در بخش خاوری کپه‌داق است. بر این اساس، محتوای روزن‌داران کف‌زی و جلبک‌های آهکی سازند تیرگان در سوی خاوری این حوضه مورد ارزیابی قرار گرفته و علاوه بر مقایسه آن با دیگر مطالعات مرتبط انجام شده در این حوضه و حوضه‌های مجاور، ابزار فسیل‌شناسی جدیدتری برای امر بایوزوناسیون در کپه‌داق خاوری آزموده شده است. در این راستا، دو برش چینه‌شناسی در باخت روستای طاهرآباد و تاقدیس اشلیر، به ترتیب در فاصله تقریبی ۷۵ و ۹۵ کیلومتری شمال خاور مشهد انتخاب و مورد اندازه‌گیری و نمونه‌برداری قرار گرفته‌اند (شکل ۱).

خود به صورت تدریجی و هم‌شیب با نهشته‌های شیلی دریابی سازند سرچشم‌می‌پوشیده می‌شود. این سازند با داشتن توالی‌هایی متعلق به زمان کرتاسه پیشین، به عنوان یکی از سنگ مخزن‌های احتمالی هیدروکربورهای حوضه کپه‌داق نیز شناخته شده و از این حیث به عنوان یکی از واحدهای رسوبی مهم و ارزشمند در شمال خاور ایران محسوب می‌شود (افشار حرب، ۱۳۷۳).

نام سازند تیرگان از نام روستای تیرگان، واقع در ۹۱ کیلومتری جنوب خاور در گز گرفته شده و محل برش الگوی این سازند در فاصله ۵ کیلومتری غرب روستای تیرگان واقع شده است. ضخامت سازند تیرگان در برش ۷۷۸ متر و بیشترین گسترش سطحی آن در کوه تیرگان است که به سوی خاور و جنوب خاوری از ضخامت این سازند کاسته می‌شود، به طوری که در برش سوراب دارای کمترین ستبرای (حدود ۲۰ متر) می‌باشد (آقانباتی، ۱۳۸۳). به دلیل عدم امکان دسترسی مناسب به برش الگو در کوه تیرگان، برش مرجعی در جنوب خاوری روستای جوزک توسط افشار حرب (۱۳۷۳) تعیین گردیده که ضخامت سازند تیرگان در آن ۳۱۵ متر می‌باشد. از مشخصه‌ها و ویژگی‌های بارز این سازند در سرتاسر پهنه ساختاری-رسوبی کپه‌داق، وجود سنگ آهک‌های حاوی روزن‌داران اوربیتولینید فراوان و آلومک‌های غیراسکلتی



شکل ۱: موقعیت جغرافیایی و راههای دسترسی به برشهای چینه‌شناسی طاهرآباد و طاقدیس اشلیر در شمال خاوری مشهد (خاور حوضه رسوبی کپه‌داق)

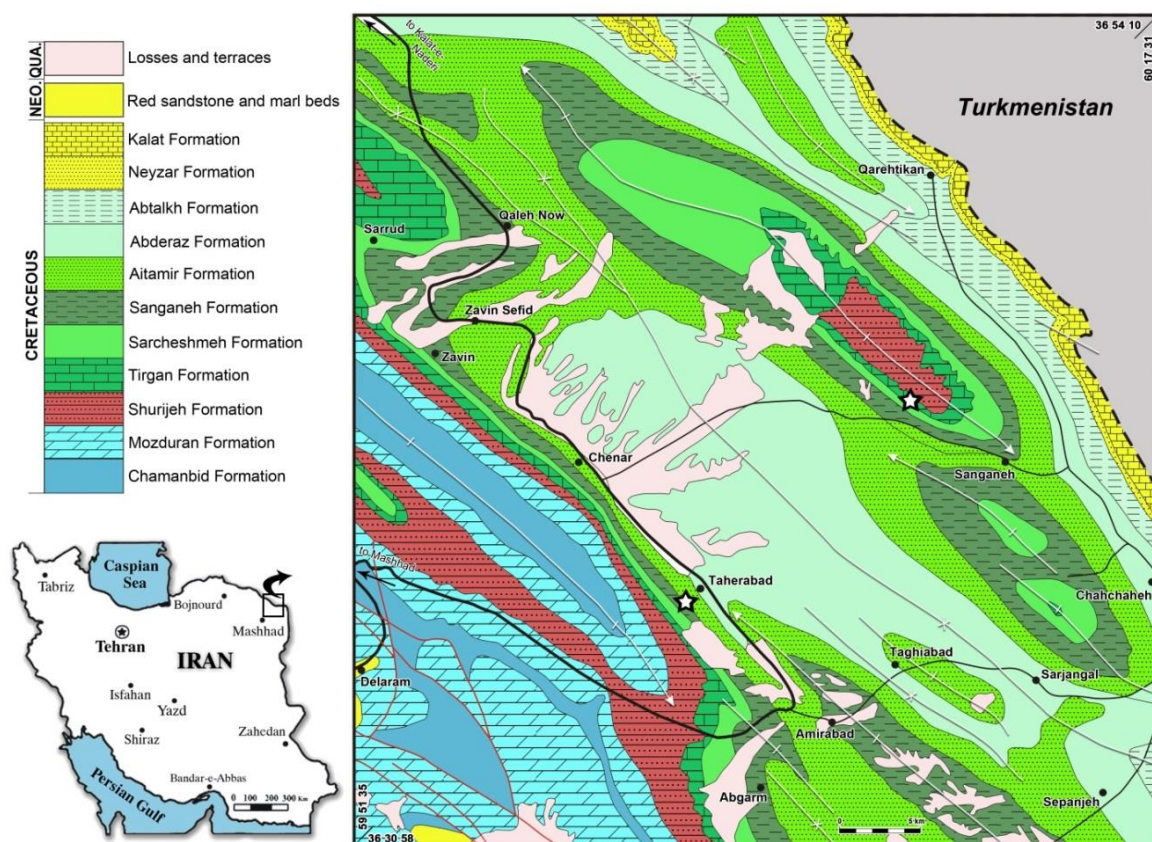
(2009) Husinec *et al.*, (2008) Hosseini & Conrad Schroeder *et al.*, (2010) Ivanova & Kolodziej 2010,) Taherpour Khalil Abad *et al.*, (2010) Rami *et al.*, (2011, 2013) Bucur *et al.*, (2013) Granier *et al.*, (2012) Carevic *et al.*, (2013) (2014) Grainer *et al.* بوده است.

چینه شناسی عمومی برش های چینه شناسی مورد مطالعه
دو برش چینه شناسی طاهر آباد و اشلیر که مدنظر این پژوهش بوده اند، از دیدگاه زمین شناسی ساختمانی به ترتیب در یال های جنوبی و شمالی ناو دیس مرکب بزرگی قرار گرفته اند که در جنوب منطبق بر یال شمالی تاقدیس شمال خور و در شمال منطبق بر یال جنوبی تاقدیس اشلیر است (شکل ۲). هر یک از این واحدهای چینه شناسی به

شرح زیر هستند:

روزن داران کفزی و جلکه های آهکی سازند تیرگان در برش های طاهر آباد و اشلیر (خاور حوضه رسوی کپه داق): محدودیت ها و کاربردها... ۱۱۱

به منظور انجام مطالعات چینه شناسی و ریزدیرینه شناسی در توالی های سنگی سازند تیرگان، نمونه برداری سیستماتیک دقیقی بر روی دو برش چینه شناسی طاهر آباد و اشلیر صورت گرفت. این نمونه برداری در فواصل مشخص و با توجه به تغییرات سنگ شناسی و رخسارهای انجام و در نهایت تعداد ۴۰ نمونه سنگی از برش طاهر آباد و ۶۰ نمونه سنگی از برش اشلیر برداشت شد. پس از انتقال نمونه ها به آزمایشگاه آماده سازی فسیل دانشگاه فردوسی مشهد، بیش از ۱۵۰ مقطع نازک در جهات مختلف تهیه و محتوای فسیلی آن مورد مطالعه و شناسایی قرار گرفت. مطالعه و شناسایی روزن داران کفزی و جلکه های آهکی موجود در مقاطع نازک تهیه شده عمدتاً بر اساس منابعی همچون Vanneau & Silva, (1987) Granier & Michaud Bachmann &, (2005) Bucur & Sasaran, (1995) (2006) Husinec & Sokac, (2006) Herisch



شکل ۲: نقشه زمین شناسی منطقه مورد مطالعه؛ برگرفته از چهارگوش زمین شناسی ۱/۲۵۰۰۰۰ مشهد (Aghanabati, 1986) و چهارگوش زمین شناسی ۱/۲۵۰۰۰۰ سرخس (Afshar-Harb, 1982); مکان و موقعیت برش های چینه شناسی طاهر آباد و اشلیر با علامت ستاره مشخص گردیده است.

متر متعلق به سازند شوریجه، $۷۰/۴۰$ متر متعلق به سازند تیرگان و $۳/۶۰$ متر متعلق به سازند سرچشمه می‌باشد. سازند تیرگان در برش طاهرآباد با گذر تدریجی و هم‌شیب بر روی سازند شوریجه قرار گرفته و خود توسط سازند سرچشمه به صورت پیوسته و هم‌شیب پوشیده می‌شود (شکل ۳ الف - ب).



شکل ۳: (الف) حد بالایی سازند تیرگان و سازند سرچشمه در برش چینه شناسی طاهرآباد (دید به سمت باختر); (ب) حد پایینی سازند تیرگان با سازند شوریجه در برش چینه شناسی طاهرآباد که با تبدیل ماسه سنگ به شیل و سپس سنگ آهک، روندی نسبتاً تدریجی دارد (دید به سمت باختر); (پ) حد بالایی سازند تیرگان و سازند سرچشمه در برش چینه شناسی اشلیر (دید به سمت خاور); (ت) حد پایینی سازند تیرگان با سازند شوریجه در برش چینه شناسی اشلیر که کاملاً واضح و ناگهانی است (دید به سمت خاور).

تیرگان، از ویژگی‌های خاص برش طاهرآباد است (شکل ۴ الف - ب). توالی سنگ‌شناسی سازند تیرگان در برش طاهرآباد در جدول ۱ نشان داده شده است. از مهم‌ترین جنس‌ها و گونه‌های روزن‌داران کف‌زی شناسایی شده در برش طاهرآباد می‌توان به موارد زیر اشاره نمود (پلیت‌های ۱ و ۲):

برش چینه‌شناسی طاهرآباد

این برش چینه‌شناسی در باخته روستای طاهرآباد، واقع در فاصله ۷۵ کیلومتری شمال خاور مشهد، با مختصات جغرافیایی قاعده برش "۵۶°۸۵' ۳۶°۵۶' عرض شمالی و $۰۳' ۵۵° ۶۰°$ طول خاوری می‌باشد (شکل ۱). ضخامت برداشت شده این برش ۹۵ متر بوده که از این میان ۱۹/۷۰

برداشت شده این برش ۹۵ متر بوده که از این میان ۱۹/۷۰



فرابوی ساختمان‌های رسوبی همچون طبقه‌بندی مورب، ریپل مارک و ساختمان‌های شیاری در بخش‌های بالای سازند شوریجه، روند کاملاً تدریجی تبدیل این سازند به سازند تیرگان با تغییر آرام سنگ‌شناسی از ماسه‌سنگ به شیل و سنگ آهک، وجود سنگ آهک‌های لوماشی در قاعده سازند تیرگان و محتوای شیلی نسبتاً زیاد سازند

Nautiloculina oolithica, *Neotrocholina aptiensis*, *Orbitolinids*, *Palorbitolina lenticularis*, *Quinqueloculina* sp., *Rumanoloculina robusta*, *Rumanoloculina* cf. *pseudominima*, *Rumanoloculina* sp., *Torinosuella peneropliformis*, *Vercorsella scarsellai*.

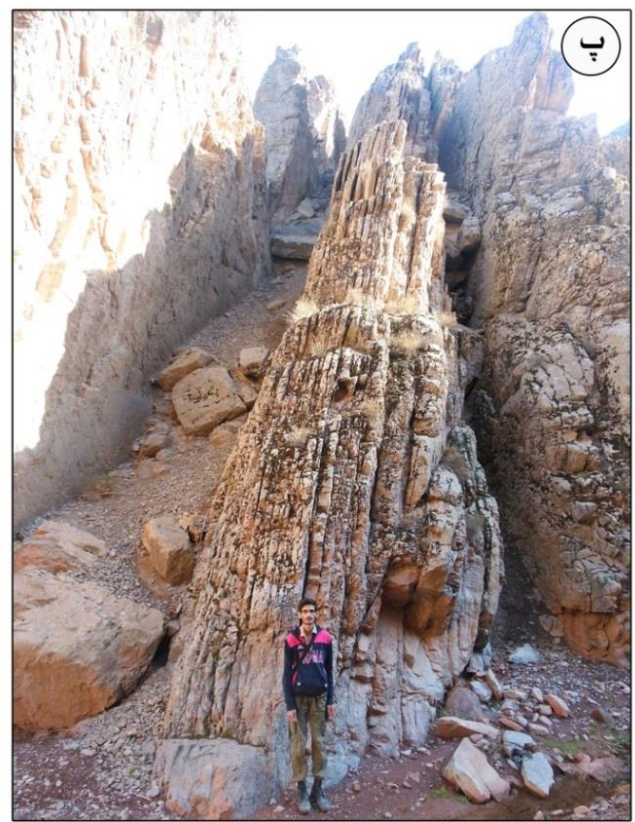
Andersenolina alpina, *Balkhania balkhanica*, *Charentia cuvillieri*, *Comaliamma* sp., *Dictyoconus* sp., *Haplophragmoides joukowskyi*, *Haplophragmoides* sp., *Istriloculina eliptica*, *Istriloculina* sp., *Lenticulina* sp., *Mayncina bulgarica*, *Melathrokerion valserinensis*,



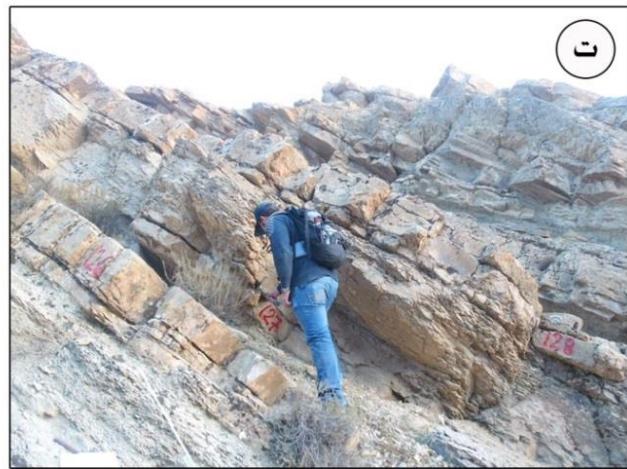
ب



الف



پ



شکل ۴: (الف) سنگ آهک لوماشلی غنی از پوسته دوکه‌ایهای در سنگ آهک‌های زیست آواری ضخیم لایه در نیمه بالایی سازند تیرگان در برش طاهر آباد؛ (ب) سنگ آهک‌های میکرایتی و نازک لایه با میان لایه‌های شیلی در بخش میانی سازند تیرگان در برش طاهر آباد که تفاوت مقاومت آن‌ها در مقابل فرسایش منجر به سیمای خاصی و منحصر به فردی در لایه‌های سازند تیرگان در این منطقه شده است (دید به سمت جنوب خاور). (پ) تناوب سنگ آهک و شیل‌های خاکستری رنگ در نیمه پایینی برش اشلیر (دید به سمت جنوب خاور).

جدول ۱: توالی سنگ شناسی سازند تیرگان در برش طاهرآباد

جایگاه	سنگ شناسی	رنگ	ضخامت
۵	سنگ آهک نازک تا متوسط لایه همراه با میان لایه هایی از سنگ آهک نودolar و شیل (جدیدترین بخش)	حاکستری روشن تا تیره	۲۷/۵۰ متر
۴	شیل با میان لایه هایی از سنگ آهک نودolar	حاکستری روشن تا تیره	۸/۲۰ متر
۳	سنگ آهک نازک لایه همراه با میان لایه هایی از شیل و سنگ آهک های نودolar همراه با میان لایه هایی از سنگ آهک دولومیتی و شیل	حاکستری روشن تا تیره، سبز تیره	۱۴/۲۵ متر
۲	سنگ آهک ضخیم لایه	حاکستری تیره	۶/۳۰ متر
۱	ماسه سنگ های دارای طبقه بندی مورب و ریپل مارک همراه با میان لایه هایی از سنگ آهک حاوی دوکفه ای فراوان و شیل (قدیمی ترین بخش)	حاکستری تیره تا روشن، قهوه ای، سبز زیتونی و ارغوانی	۱۴/۱۵ متر

متر ابتدایی آن متعلق به سازند شوریجه، ۹۵/۶ متر آن مربوط به سازند تیرگان و ۲/۴۰ متر بالایی آن نیز به سازند سرچشمہ تعلق دارد. همچون برش طاهرآباد، طبقه بندی های مورب و ریپل مارک ها مهم ترین ساختمان های رسوبی موجود در ماشه سنگ های بخش بالایی سازند شوریجه در برش تاقدیس اشلیر هستند. علاوه بر این، در برش فوق سنگ آهک های لوماشی غنی از دوکفه ای ها، اثر فسیل های نسبتاً فراوان و همچنین محتوای شیلی زیاد نیز دیده می شود (شکل ۴ پ - ت). از مهم ترین روزن داران کف زی شناسایی شده در برش اشلیر می توان به موارد زیر اشاره نمود (پلیت های ۳ و ۴):

Andersenolina alpina, *Balkhania balkhanica*, *Charentia cuvillieri*, *Dictyoconus* sp., *Haplophragmoides joukowskyi*, *Istriloculina elliptica*, *Istriloculina* sp., *Lenticulina* sp., *Mayncina bulgarica*, *Melathrokerion valserinensis*, *Nautiloculina oolithica*, *Neotrocholina aptiensis*, *Novalesia cf. producta*, Orbitolinids, *Palorbitolina lenticularis*, *Quinqueloculina* sp., *Rumanoloculina robusta*, *Torinosuella peneropliformis*, *Vercosella arenata*, *Vercorsella scarsellai*.

همچنین از مهم ترین جنس ها و گونه های جلبک های آهکی و ریز مرجانیان شناسایی شده در برش مورد مطالعه می توان به موارد زیر اشاره نمود:

مهم ترین جلبک های آهکی و ریز مرجانیان شناسایی شده در برش طاهرآباد نیز عبارت اند از:

Acicularia sp., *Arabicodium* sp., *Boueina* sp., *Boueina hochstetteri*, *Cayeuxia* sp., *Carpathoporella* sp., *Coptocompylodon* sp., *Deloffrella* sp., *Deloffrella quercifoliipora*, *Girvanella* sp., Halimedaceae, *Holosporella* sp., *Kopetdagaria sphaerica*, *Marinella lugeoni*, *Montiella? elitzae*, *Neomeris cretacea*, *Periocaculus* sp., *Russoella radoicicae*, *Terquemella* sp.

محتوای فسیلی فوق، سن بارمین پسین - آپتین پیشین را برای سازند تیرگان در برش طاهرآباد پیشنهاد می نماید (شکل ۵).

برش چینه شناسی اشلیر

این برش چینه شناسی در یال جنوبی تاقدیس اشلیر و شمال باختر روستای سنگانه، در ۹۵ کیلومتری شمال خاور مشهد واقع شده و مختصات جغرافیایی قاعده آن "۰۳۶ ۴۲' ۵۷/۲۲" عرض شمالی و "۱۱' ۴۲/۹۹" طول خاوری می باشد (شکل ۱). مرز پایینی سازند تیرگان با سازند شوریجه در این برش چینه شناسی، برخلاف برش طاهرآباد به صورت هم شیب، اما ناگهانی و مشخص است در حالی که حد بالای آن با سازند سرچشمہ پیوسته و هم شیب می باشد (شکل ۳ پ - ت). این برش ۱۰۰ متر سمترا دارد (جدول ۲) که ۲

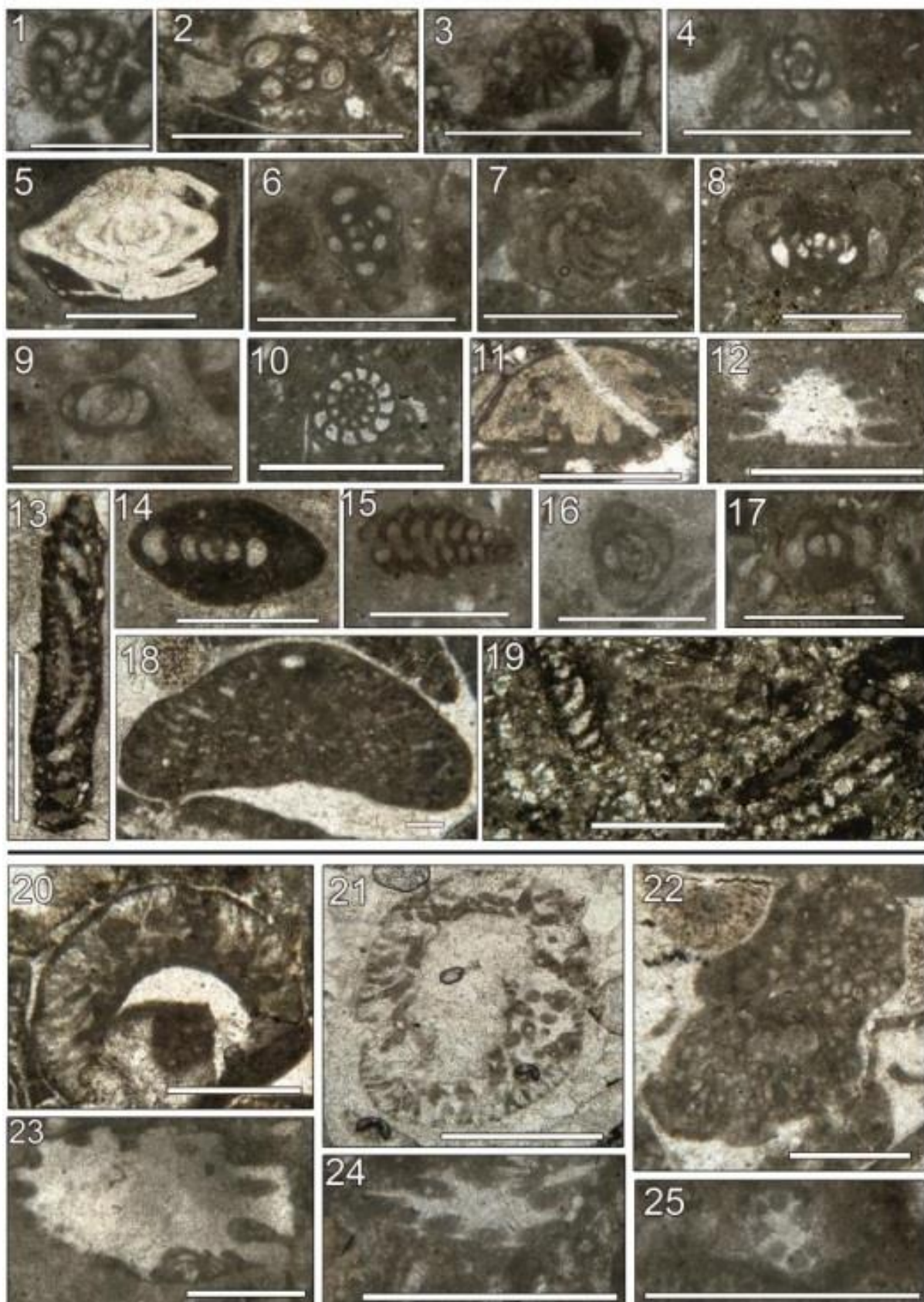


Plate 1: Benthic foraminifera and calcareous algae from the Tigran Formation in Taher-Abad section (Scale bar is 500 μ); 1. *Mayncina bulgarica*; 2. *Rumanoloculina* sp.; 3. *Haplophragmoides* sp.; 4, 16. *Quinqueloculina* sp.; 5. *Lenticulina* sp.; 6. *Rumanoloculina* cf. *pseudominima*; 7. *Torinosuella peneropliformis*; 8. *Melathrokerion valserinensis*; 9. *Istriloculina elliptica*; 10, 14. *Nautiloculina oolithica*; 11. *Neotrocholina aptiensis*; 12. *Andersinolina alpine*; 13, 19. *Balkhania balkhanica*; 15. *Vercorsella scarsellai*; 17. *Charentia cuvillieri*; 18. *Palorbitolina lenticularis*; 20. *Boueina* sp.; 21. *Arabicodium* sp.; 22. *Cayeuxia* sp.; 23. *Carpathoporella* sp.; 24. *Coptocampyloidon* sp.; 25. *Acicularia* sp.

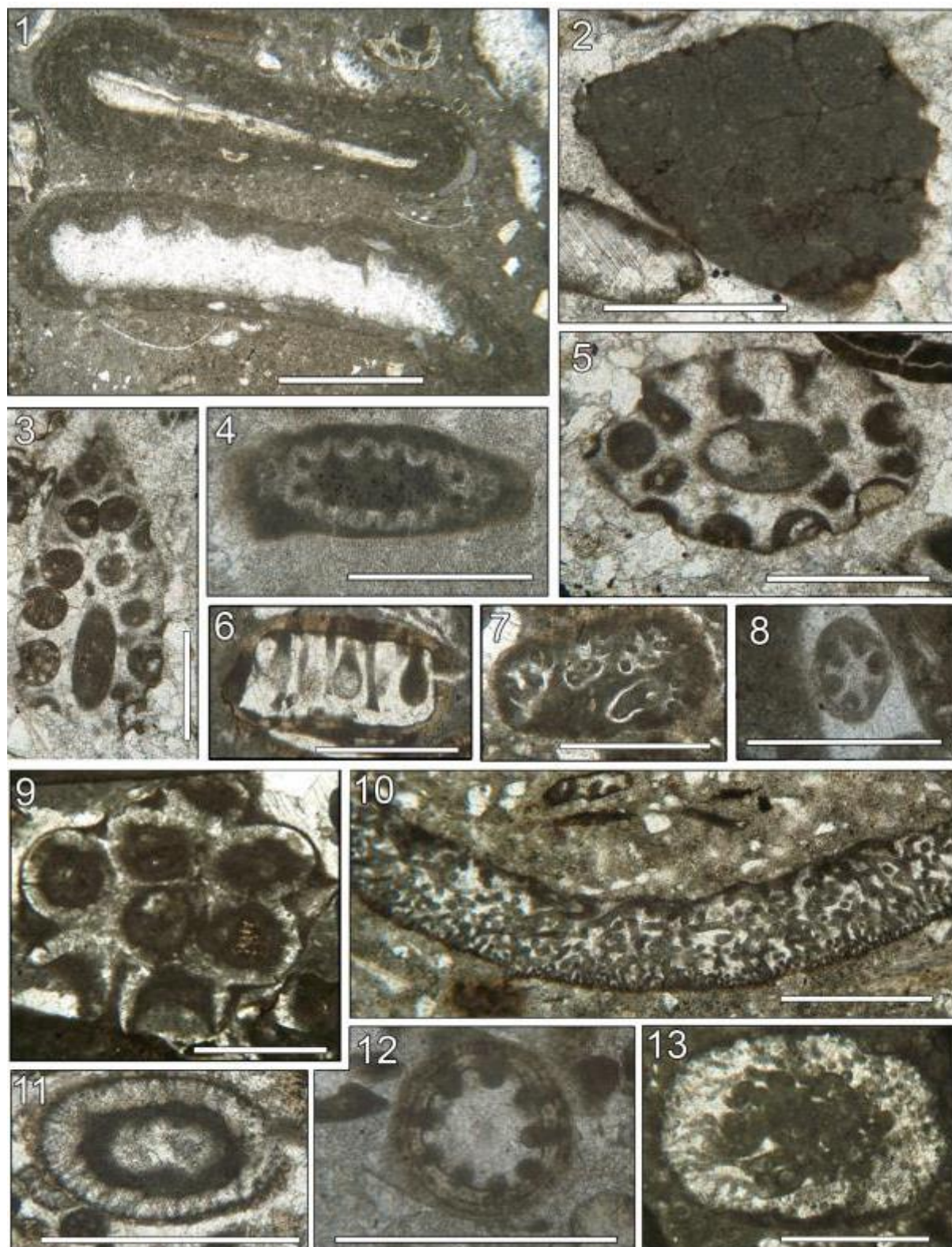
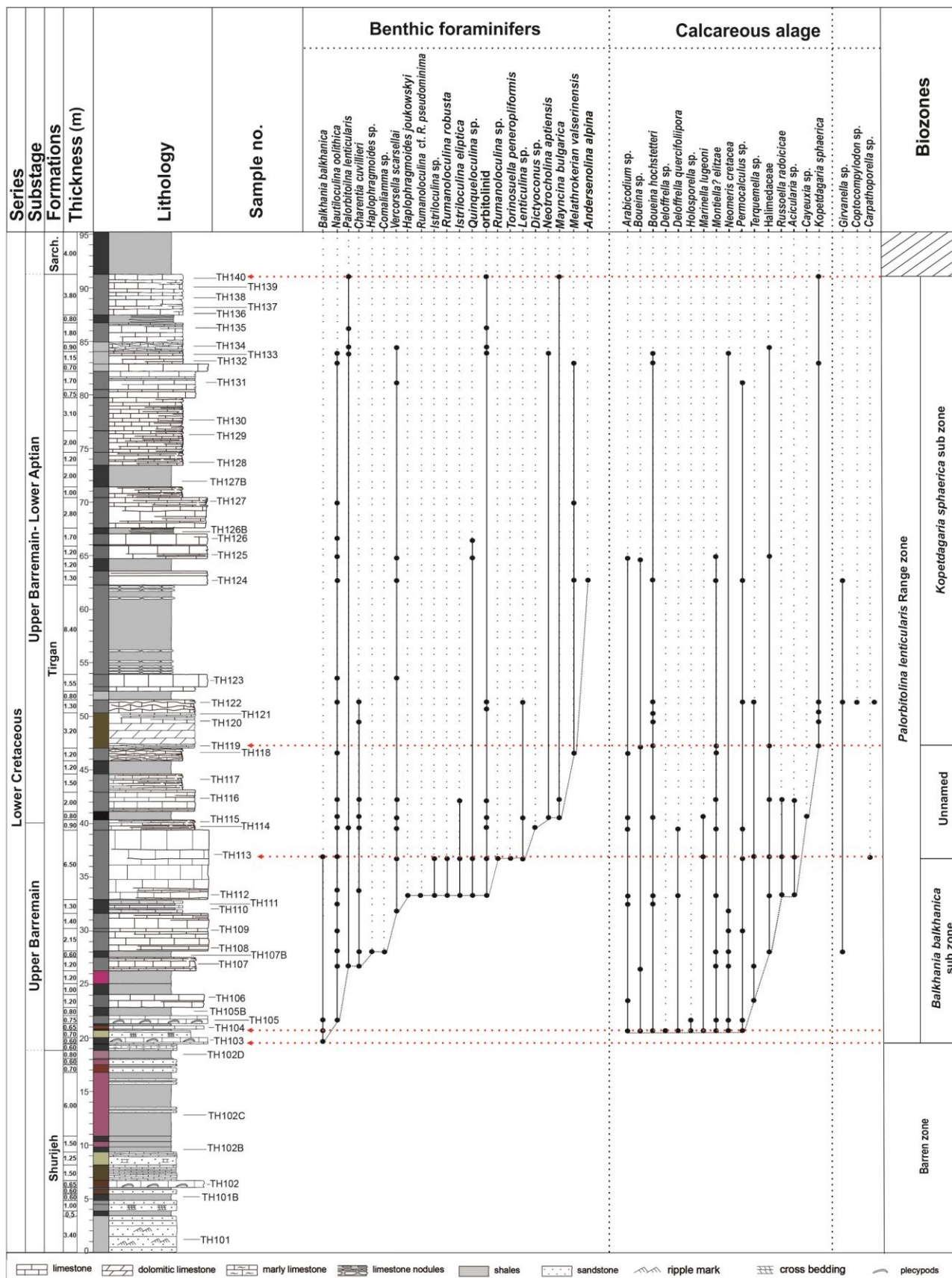


Plate 2: Calcareous algae form the Tigran Formation in Taher-Abad section (Scale bar is 500 μ); 1. *Girvanella* sp.; 2. *Marinella lugeoni*; 3. *Moniella?* *elitzae*; 4. Indet Algae; 5. *Holosporella* sp.; 6. *Neomeris cretacea*; 7. *Deloffrella quercifoliipora*; 8. *Acicularia* sp.; 9. *Kopetdagaria sphaerica*; 10. *Permocalculus* sp.; 11. *Arabicodium* sp.; 12. *Terquemella* sp.; 13. *Boueina hochstetteri*.



شکل ۵: ستون چینه‌نگاری، نمودار پراکنده روzen داران کفزی و جلکه‌های آهکی و یا بیوزون‌های شناسایی شده در سازند تبرگان در برش طاهرآباد

محتوای فسیلی فوق، سن بارمین پسین - آپتین پیشین را برای سازند تیرگان دربرش اشلیر پیشنهاد می‌نماید (شکل ۶).

Acicularia sp., *Boueina* sp., *Boueina hochstetteri*, *Coptocampylodon* sp., *Deloffrella* sp., *Deloffrella quercifoliipora*, *Halimedaceae*, *Holosporella* sp., *Kopetdagaria sphaerica*, *Marinella lugeoni*, *Montiella? elitzae*, *Neomeris cretacea*, *Periocaculus* sp., *Russoella radoicicae*, *Terquemella* sp.,

جدول ۲: توالی سنگ‌شناسی سازند تیرگان در برش اشلیر

جایگاه	سنگ شناسی	رنگ	ضخامت
۹	سنگ آهک متوسط لایه، سنگ آهک شیلی همراه با میان لایه‌هایی از شیل آهکی (جدیدترین بخش)	خاکستری	۲۷/۹۰ متر
۸	سنگ آهک نودولار	خاکستری	۶ متر
۷	سنگ آهک متوسط لایه حاوی اثر فسیل، سنگ آهک مارنی همراه با میان لایه‌هایی از شیل	خاکستری	۶/۶۵ متر
۶	شیل با میان لایه‌هایی از سنگ آهک در بخش بالای	خاکستری	۵/۹۰ متر
۵	سنگ آهک نازک تا متوسط لایه، سنگ آهک نودولار با طبقه‌بندی مورب همراه با میان لایه‌هایی از شیل و شیل آهکی	خاکستری	۱۵/۳۰ متر
۴	شیل با میان لایه‌هایی از سنگ آهک حاوی دوکفه‌ای، سنگ آهک مارنی حاوی اثر فسیل	خاکستری تا زیتونی	۱۵ متر
۳	سنگ آهک نازک تا متوسط لایه	خاکستری	۵/۵ متر
۲	سنگ آهک مارنی	خاکستری روشن	۴ متر
۱	سنگ آهک نازک تا متوسط لایه با میان لایه‌هایی از سنگ آهک ماسه‌ای، شیل مارنی و شیل (قدیمی‌ترین بخش)	خاکستری، خاکستری مایل به قهوه‌ای	۱۰/۴۰ متر

روزنداران کف‌زی و جلبک‌های آهکی موجود، به سن بارمین - آپتین پیشین دانسته شده است. Taherpour Carevic *et al.* (2010, 2013) و Khalil-Abad *et al.* (2013) نیز با توجه به محتوای روزن‌داران کف‌زی و جلبک‌های آهکی سازند تیرگان در برش‌های تخت ارکان، سیساب و علی‌آباد در کپه‌داق باختری، سن سازند را بارمین پسین - آپتین پیشین در نظر گرفته‌اند؛ اگرچه Bucur *et al.* (2013)، با توجه به اوریتولینیدهای *Palorbitolina* در توالی‌های سازند تیرگان در باختر بجنورد (البرز خاوری - کپه‌داق باختری) سن این سازند را به آپتین پیشین نسبت داده‌اند.

زیست چینه نگاری سازند تیرگان: پیشینه، پیچیدگی‌ها و راهکارها

اولین مطالعات فسیل‌شناسی بر روی سازند تیرگان توسط Kalantari (1969) انجام شده است. وی با توجه به محتوای روزن‌داران موجود در برش الگو، سن نئوکومین تا آپتین را برای این سازند در نظر گرفته است. رهقی در نوشته افسار‌حرب (۱۳۷۳) نیز با مطالعه روزن‌داران موجود در برش مرجع سازند تیرگان (خاور رستای جوزک) سن نئوکومین - آپتین را برای این برش تأیید نموده است. برش جوزک بعدها نیز توسط ریوندی و همکاران (۱۳۸۹) از دیدگاه فسیل‌شناسی بازیینی شده و با توجه به مجموعه

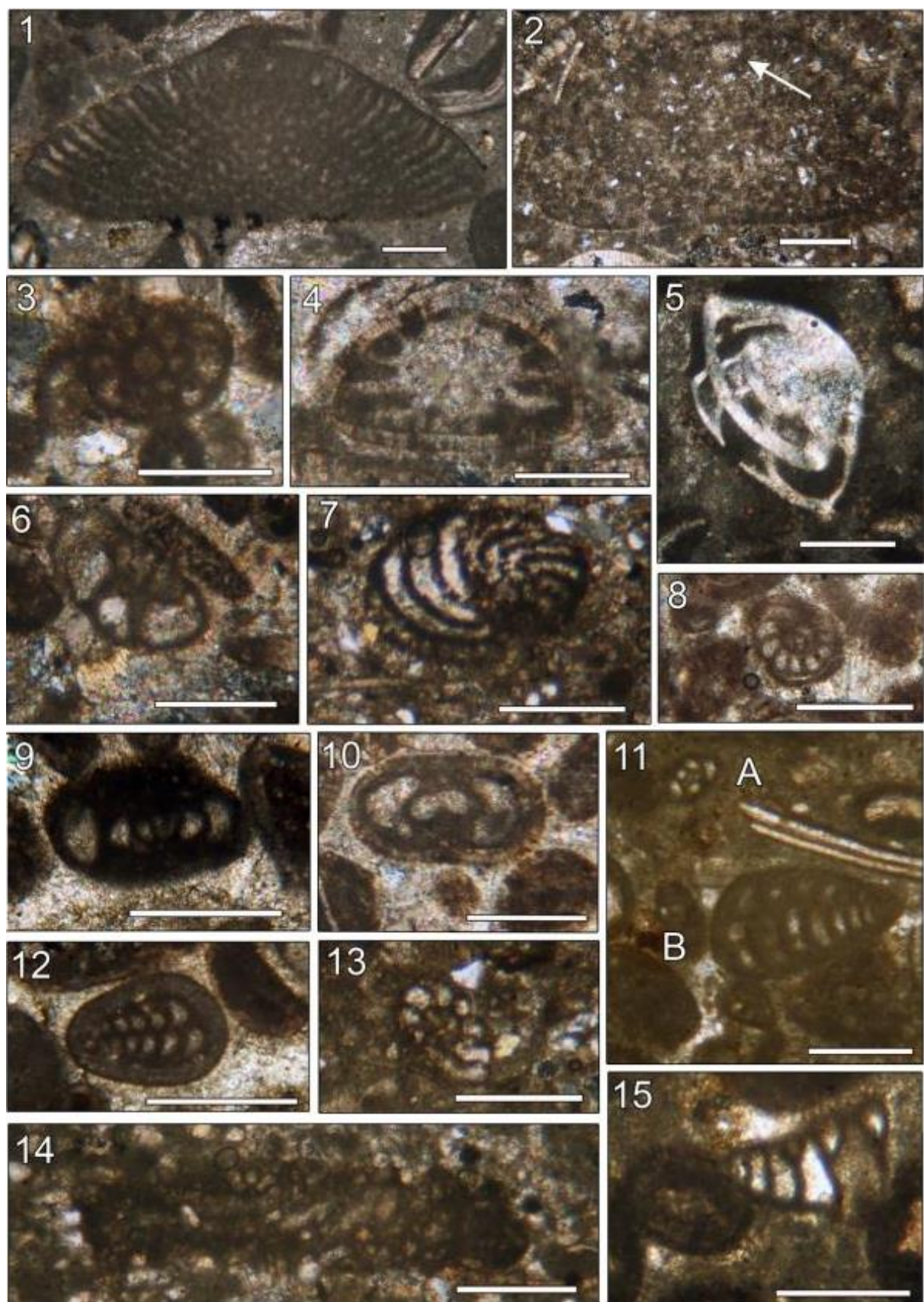


Plate 3: Benthic foraminifera from the Tigran Formation in Eshlir section (Scale bar is 500 μ); 1. *Orbitolina* indet.; 2. *Palorbitolina lenticularis*; 3. *Haplophragmoides joukowskyi*; 4. *Andersenolina alpine*; 5. *Lenticulina* sp.; 6. *Nezzazatinella* cf. *picardi*; 7. *Torinosuella peneropiformis*; 8, 13. *Mayncina bulgarica*; 9. *Nautiloculina oolithica*; 10. *Charentia cuvillieri*; 11-A. *Quinqueloculina* sp.; 11-B. *Vercosella laurentii*; 12. *Vercorsella scarsellai*; 14. *Balkhania balkhanica*; 15. *Novalesia* cf. *producta*.

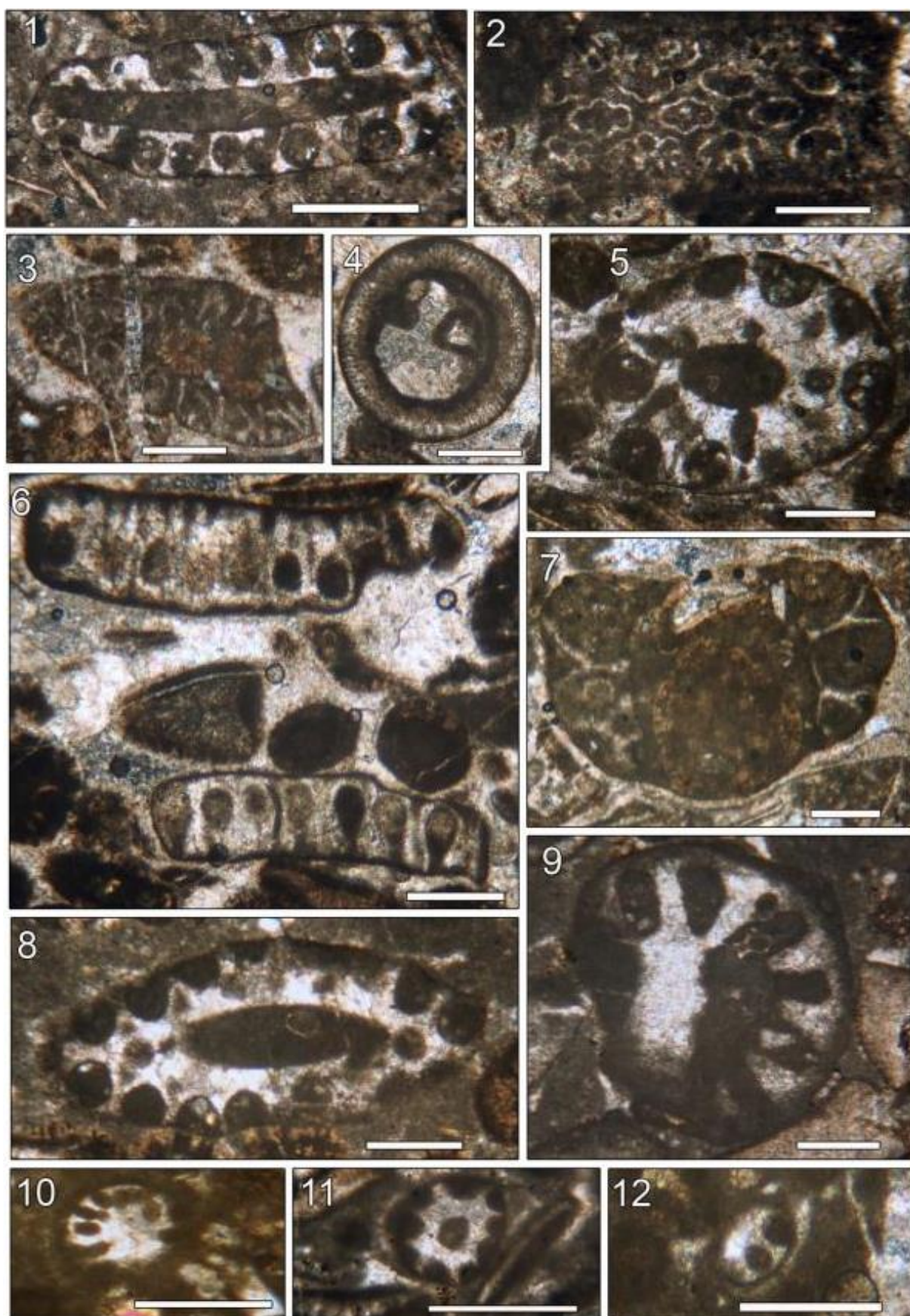
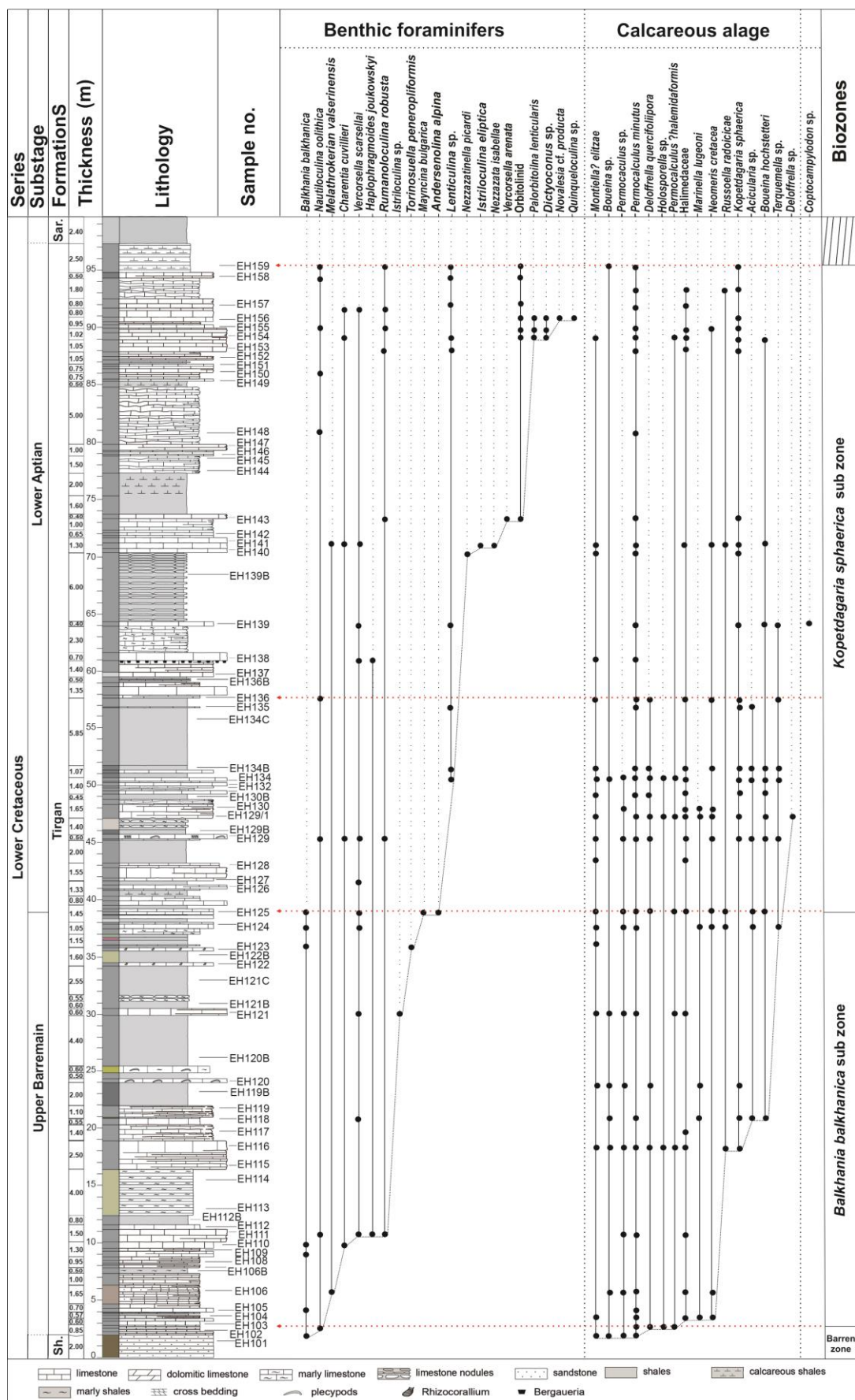


Plate 4: Calcareous algae and coral form the Tigran Formation in Eshlir section (Scale bar is 500 μ). 1, 5. *Montiella? elitae*; 2, 3. *Deloffrella quercifoliipora*; 4. *Permocalculus* sp.; 6. *Neomeris cretacea*; 7. *Terquemella* sp.; 6. *Neomeris cretacea*; 7. *Kopetdagaria sphaerica*; 8. *Holosporella* sp.; 9. Coral; 10. *Acicularia* sp.; 11. *Coptocampylodon* sp.; 12. *Russoella*.



شکل ۶: ستون چینه‌نگاری، نمودار پراکنده‌گری روزن داران کفزی و جلبک‌های آهکی و بایوزون‌های شناسایی شده در سازند تیرگان در برش چینه شناسی اشلیر

مناسب این میکروفسیل‌ها، مهم‌ترین دلایل بروز این اختلاف دیدگاه‌ها در تعیین سن سازند تیرگان است. در این شرایط و با توجه به محیط رسوی محل تشکیل توالی‌های این سازند که یک محیط کم‌عمق حاوی فونا و فلورای کف‌زی فراوان و عموماً با رخساره‌های لاغونی، سدی و جلوی سد رو به دریای باز را دربرمی‌گیرد (موسوی زاده و همکاران، ۱۳۸۷؛ جوانبخت و همکاران، ۱۳۹۲) و نیز جایگاه جغرافیایی دیرینه آن به عنوان حوضه‌ای برقراره‌ای در شمال اقیانوس نئوتیس (افشار‌حرب، ۱۳۷۳؛ Stampfli *et al.*, 2002) و یا بخش‌های دریایی کم‌عمق حاشیه شمالی اقیانوس نئوتیس (Wilmsen *et al.*, 2015)، به نظر می‌رسد سودمندترین ابزار برای زیست چینه نگاری و تعیین سن چینین توالی‌هایی، استفاده از روزن‌داران کف‌زی و جلبک‌های آهکی و تعریف بایوزون‌های محلی باشد. اگرچه این فسیلها نیز عمدتاً به دلیل وابستگی به رخساره برای تطابق چینه‌شناسی در محیط‌های دور از هم خیلی مناسب نیستند (Yadav, 2003)، اما در حوضه نسبتاً محدودی همچون حوضه کپه‌داق می‌توانند برای تعیین سن، تطابق و حتی زون‌بندی در مقیاس محلی (به عنوان مثال: Bachmann & Herisch, 2006) به کار روند. یقیناً شناخت دقیق محیط رسوی و البته شناسایی صحیح این فسیل‌ها در انجام تطابق‌های چینه‌شناسی امری ضروری و مهم است.

عمده مطالعات انجام شده بر روی روزن‌داران کف‌زی و جلبک‌های آهکی سازند تیرگان معطوف به بخش‌های باختり حوضه است و برش‌های خاوری به جز چند مورد نادر، کمتر مورد توجه بوده است. طاهرپور و همکاران (۱۳۹۴) برش چینه‌شناسی سیساب واقع در جنوب خاوری شهرستان بجنورد (باختر حوضه کپه‌داق) را مورد مطالعه قرار داده و سن سازند تیرگان در برش مذبور را بارمین پسین - آپتین پیشین (بدولین) گزارش کرده‌اند. ایشان پنج

سازند تیرگان به کمک دیگر گروه‌های فسیلی نیز مورد مطالعه و سن سنجی قرار گرفته است. در این راستا، هاشمیان و آریایی (۱۳۸۶) با مطالعه خارپوستان به دست آمده از سازند تیرگان در برش شترپا، سن اواخر کرتاسه آغازین را برای این سازند معرفی کرده‌اند. محققی و همکاران (۱۳۹۰) نیز حد بالایی سازند تیرگان و محل گذر آن به سازند سرچشمہ را در برش قلعه زو (باختر کپه‌داق) با توجه به نانوفسیل‌های آهکی مورد مطالعه قرار داده و سن این مرز را آپتین پسین - آلبین پیشین در نظر گرفته‌اند. خدادادی و هادوی (۱۳۹۱) مرز پایینی سازند تیرگان را بر اساس نانوفسیل‌های آهکی در دو برش چینه‌شناسی مزدوران و کلات (خاور حوضه رسوی کپه‌داق) مورد ارزیابی قرار داده و محدوده زمانی هوترویین پسین - بارمین آغازین را برای محل گذر سازند شوریجه به سازند تیرگان در نظر گرفته‌اند. داوطلب و همکاران (۱۳۹۳) نیز محتوای پالینولوژیکی سازند تیرگان در برش‌های گله‌وار و باغک (شرق حوضه کپه‌داق) را مطالعه و ضمن معرفی چهار رخساره پالینولوژیکی در سازند تیرگان، با استناد به محتوای روزن‌داران موجود در برش‌های مورد مطالعه خود، سن سازند را بارمین - آپتین گزارش کرده‌اند. آن‌چه در اغلب این مطالعات نمایان است، عدم تشریح جایگاه مرز بین دو اشکوب بارمین و آپتین است. علاوه بر مطالعات فوق، از دیدگاه رسوی‌شناسی نیز بررسی‌های بسیاری بر روی این سازند انجام شده که به دلیل طولانی بودن از ذکر آن‌ها خودداری می‌گردد.

این پیشینه مطالعاتی نسبتاً مفصل، گویای اختلاف نظر در جایگاه سنی این سازند از دیدگاه‌های مختلف فسیل‌شناسی و پراکنده‌گی جغرافیایی در انتخاب برش‌های چینه‌شناسی طی بررسی‌های صورت گرفته قدیمی‌تر است. نبود فونای پلاژیک مناسب از روزن‌داران و آمونیت‌ها، فراوانی و غلبه فونا و فلورای کف‌زی و بعض‌اً عدم شناسایی صحیح و

استفاده از واژه منسون *Dictyoconus arabicus* Henson در نام بایوزون در شرایطی که این گونه پیشتر توسط Schroeder *et al.* (2002) بازنگری و نام آن به *Montseciella arabica* (Henson 1948) تغییر یافته بود، کارآمد نبودن مفهوم *Orbitolina* spp. و استفاده از اوریتولینیدهای فاقد حجره جنینی در حالی که اساساً مطالعه اوریتولینیدها وابسته به بررسی حجرات جنینی است (Schroeder *et al.*, 2010)، عدم ارائه اطلاعات یومتریک *Salpingoporella* گونه های جلبکی به ویژه گونه *muehlbergii* و شناسایی آن بر اساس شکل ظاهري در حالی که از آن به عنوان یک گونه بیوزون ساز استفاده شده است و بالاخره استفاده از میکروفسیل های *Nautiloculina oolithica* و *arabicus* برای تعیین جایگاه مرز بارمین پسین - آپتین پیشین که با توصیف بالا در خصوص این دو فسیل مورد سؤال و تردید است، چندان کاربردی به نظر نمی رسد و جدای از اشکالات ساختاری موجود در تعریف آن ها، امکان ردیابی آن ها در برش های خاور حوضه نظری برش های چینه شناسی طاهر آباد و اشلیر که مدنظر این پژوهش بوده اند، وجود ندارد. نبود اوریتولینیدهای با حجرات جنینی بزرگ و مشخص در دیگر برش های چینه شناسی موجود در کپه داق خاوری (طاهرپور خلیل آباد، ۱۳۹۲)، مؤید این عدم کاربری مناسب باشد.

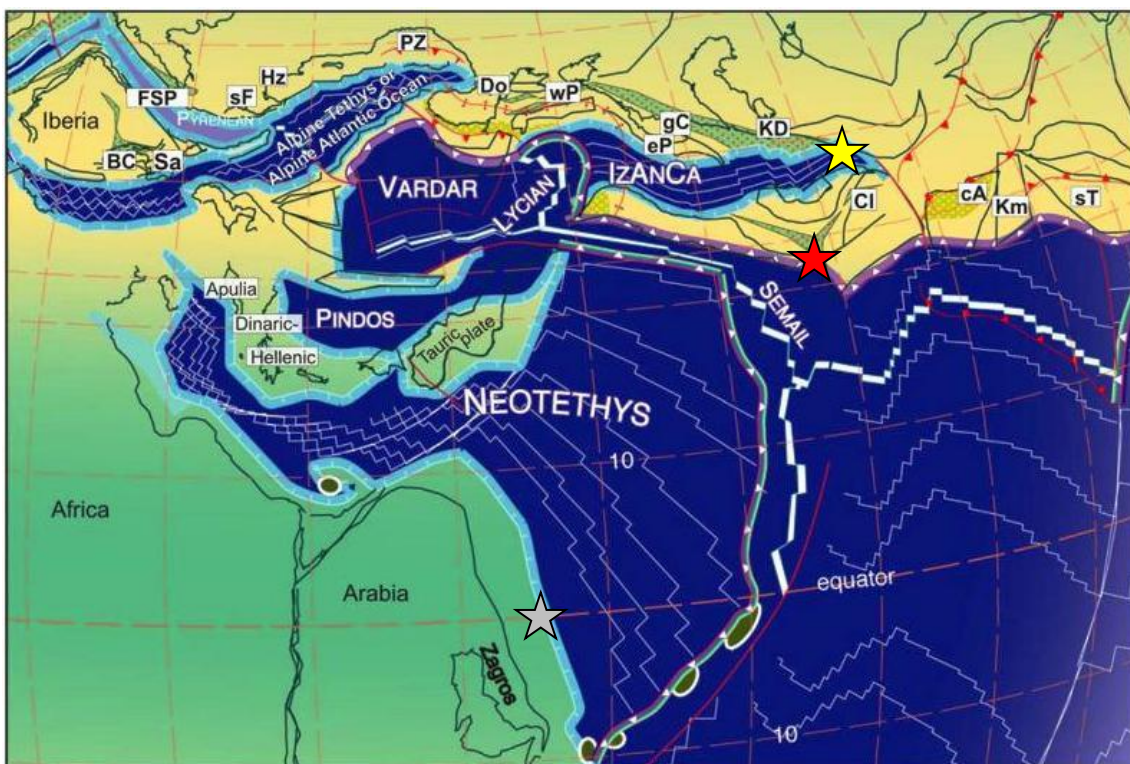
توالی های بارمین - آپتین در دیگر نقاط ایران همچون بلوک یزد در ایران مرکزی (به عنوان مثال: Yazdi, Bucur *et al.*, 2012; Moghadam & Amiri, 2010; Wilmsen *et al.*, 2015; Rami *et al.*, 2012 زاگرس (James & Wynd, 1965) Parvaneh Nejad Shirazi *et al.*, Shirazi, 2009 (2013) نیز تاکنون بارها مورد مطالعه و بررسی قرار گرفته اند. با این حال، مقایسه و مطابقت زیست چینه ای آن ها با

بایوزون مختلف شامل دو بایوزون گستره ای محلی *Balkhania* و *Kopetdagaria sphaerica* range zone *balkhanica* sub range zone جهانی *Palorbitolina lenticularis* Range zone و *Montseciella arabica* Range zone *Praeorbitolina cormyi* Subzone گستره ای جهانی در این برش معرفی نموده اند. مهم ترین مشکلات استفاده از این زون بندی در خاور کپه داق، کمبود فونای اوریتولینید مناسب حاوی حجرات جنینی سالم در رخمنون های سازند تیرگان است (به عنوان مثال اوریتولینیدهای معرفی شده از برش ناودیس خور و قشقه). بنابراین، به دلیل کم عمق تر بودن سوی خاوری حوضه کپه داق در زمان رسوب گذاری سازند تیرگان و لذا کمبود اوریتولینیدهای فراوان و شاخص با حجرات جنینی واضح و مشخص در آن (طاهرپور خلیل آباد و همکاران، ۱۳۹۴)، استفاده از این بایوزون های اوریتولینیدی در برش های طاهر آباد و اشلیر با محدودیت مواجه است.

ریوندی و همکاران (۱۳۸۹) بر مبنای مجموع محتوای روزن داران کفزی و جلبک های آهکی سازند تیرگان در برش مرجع (جنوب خاوری روستای جوزک)، بایوزون تجمعی *Nautiloculina oolithica-Salpingoporella muehlbergii-Haplophragmoides* sp. Assemblage Zone را در نیمه پایینی سازند و بایوزون تجمعی *Nautiloculina* sp.-*Nezzazata* sp.-*Dictyoconus arabicus-Orbitolina* spp. Assemblage Zone نیمه بالایی آن معرفی نموده و با توجه به این بایوزون ها، سن بارمین پسین - آپتین پیشین را برای سازند تیرگان در برش جوزک پیشنهاد داده اند. این زون بندی به دلیل استفاده از فسیل های غیر شاخص با محدوده حضور طولانی همچون *Nautiloculina oolithica* با گستره سنی زیاد از ژوراسیک پیشین تا آپتین (Kollmann & Peza, 1997)

2010) و نیز با علم به این که فونا و فلورای کف‌زی به دلیل وابستگی زیاد به رخساره‌ها و میل به بومی شدن کاربرد خود را برای تطابق زیست چینه‌ای در فواصل دور از دست می‌دهند (Schroeder *et al.*, 2010)، لذا استفاده از زون بندهای انجام شده در این مناطق در حوضه برقراره‌ای همچون کپه‌داق (شکل ۷) و به ویژه بخش‌های خاوری‌تر و کم‌عمق‌تر این حوضه کارکرد مناسب ندارد.

توالی‌های مشابه سازند تیرگان در کپه‌داق (به ویژه بخش خاوری حوضه) قدری مشکل و پیچیده است. به دلیل قرار گرفتن منطقه بلوک یزد در عرض‌های جنوبی‌تر محدوده نئوتیس شمالی (Wilmsen *et al.*, 2015) و نیز قرارگیری پهنه زاگرس در حاشیه جنوبی نئوتیس و در عرض‌های جغرافیایی کمتر از ۱۰ درجه شمالی طی بازه زمانی بارمین - آپتین (Stampfli & Borel, 2002)



شکل ۷: نقشه دیرینه جغرافیایی حوضه نئوتیس در زمان آپتین و موقعیت حوضه‌های رسوبی کپه‌داق (ستاره زرد)، جنوب بلوک یزد (ستاره سرخ) و زاگرس (ستاره خاکستری) در آن (برگرفته از Stampfli & Borel, 2004)

و یک *Bacinella irregularis* Assemblage Zone با یوزون فراوانی *Salpingoporella dinarica* Abundance Zone را برای بازه زمانی بارمین - آپتین گزارش نموده‌اند. با توجه به فونا و فلورای یافت شده در برش‌های چینه‌شناسی طاهرآباد و اشلیر در خاور کپه‌داق و نبود یا کمبود گونه‌های یوزون‌ساز فوق، مشخصاً امکان استفاده از چنین زون بندهی برای این بخش از حوضه میسر نیست.

نگاهی به دیگر یوزون‌های مشابه معرفی شده از سایر نقاط جهان نیز حاکی از ضرورت استفاده از یک زون بنده محلی در حوضه کپه‌داق است. Husinec & Sokac (2006) برش‌های چینه‌شناسی واقع در جنوب کرواسی در جنوب سکوی آدریاتیک (حاشیه شمالی اقیانوس نئوتیس) را مورد ارزیابی قرار داده و با توجه به محتوای جلبک‌های آهکی و روزن‌داران کف‌زی، یک یوزون بینابینی *Salpingoporella melitae* - *Salpingoporella muehlbergii* Interval Zone

همان طور که از توضیحات فوق بر می آید، تعیین سن و زون بندی زیستی توالی های سازند تیرگان در گستره حوضه کپه داق و نیز مقایسه آن با توالی های هم ارز و مشابه در دیگر نقاط ایران و جهان سخت و پیچیده است. این مشکلات به ویژه در کپه داق خاوری که فاقد فونای اوریتولینید مناسب است، بیشتر خودنمایی می کنند. در این پژوهش، تلاش شده تا از ابزار دیگری در کنار اوریتولینیدها برای زون بندی استفاده شود. این ابزار، *Balkhania* گستره حضور گونه کمتر شناخته شده از *balkhanica* Mamontova, 1966 غیر اوریتولینیدی و نیز گستره حضور گونه *Kopetdagaria sphaerica* Maslov, 1960 جلبک های آهکی می باشد. برخلاف اوریتولینیدهایی همچون *Palorbitolina lenticularis* که به ندرت در برش های فوق موجود در کپه داق خاوری یافت می شوند، گونه های فوق به وفور در برش های چینه شناسی یاد شده و حتی دیگر برش های چینه شناسی دورتر تا سوی باختری کپه داق (Taherpour Khalil Abad et al., 2013) حضور دارند.

همان طور که اشاره شد، در میان نمونه های شناسایی شده *Palorbitolina lenticularis* گونه های شاخصی همچون از *Balkhania balkhanica* و *Kopetdagaria sphaerica* روزن داران کفزی، *Deloffrella quercifoliipora* از جلبک های آهکی در مقاطع تهیه شده در برش طاهر آباد یافت شده اند. با توجه به گستره حضور گونه مهم و بایوزون ساز *Palorbitolina lenticularis* در این برش چینه شناسی، یک بایوزون اصلی در برش طاهر آباد و اشلیر معرفی شده که مؤید زمان بارمین پسین - آپتین پیشین می باشد. همچنین با توجه به گستره حضور گونه های شاخص *Balkhania balkhanica* و *Kopetdagaria sphaerica* و اهمیت آن ها در تعیین مرز

(Bachmann & Hirsch 2006) نیز نهشته های بارمین پسین تا آپتین پسین خاور سوریه و سرزمین های اشغالی را مطالعه و بر اساس فاصله پیدایش تا انقراض گونه های روزن داران *Palorbitolina lenticularis*-*baizoune*، *Choffatella decipiens* پسین تا پایین ترین قسمت آپتین و بایوزون *lenticularis* را برای بخش پایینی آپتین پیشین در نظر گرفته اند. همان طور که مشخص است، اساس این زون بندی نیز بر گونه *Palorbitolina lenticularis* استوار است که متأسفانه در برش های طاهر آباد و اشلیر مدنظر این پژوهش کمیاب و نادرند، ضمن این که گونه *Choffatella decipiens* نیز تا کنون از حوضه کپه داق به میزان بسیار اندک و با علامت سؤال گزارش شده است.

Schoroder et al. (2010) هم با مطالعه برش های چینه شناسی واقع در خاور صفحه عربی و همچنین شمال خاور صفحه افریقا (حاشیه جنوبی اقیانوس نشوتیس)، بایوزون هایی را بر اساس اوریتولینیدها در محدوده زمانی بارمین پیشین - آلین پیشین ارائه نموده اند. این بایوزون ها شامل دو بایوزون بینایینی جهانی *Eopalorbitolina* و *Palorbitolina lenticularis Zone transiens Zone Praeorbitolina cormyi* یک بایوزون گستره ای جهانی *Palorbitolinoides* یک زیرزون گستره ای محلی cf. *orbiculata Subzone* و یک زیرزون بینایینی محلی *Palorbitolina ultima Subzone* می باشند. از آن جا که اساس این زون بندی نیز بر روزن داران اوریتولینیدی استوار است، استفاده از آن ها در برش های مورد مطالعه در این پژوهش امکان پذیر نیست. به علاوه این زون بندی بیشتر برای بخش های میانی و جنوبی حوضه تئیس کاربرد دارد که این خود نیز بر مشکلات زون بندی در محدوده کرتاسه پیشین حوضه رسوی کپه داق افروده است.

از گونه‌های بایوزون ساز شاخص بارمین پسین - آپتین پیشین شناخته شده و از آن به عنوان یکی از ابزارهای مناسب زیست چینه نگاری برای تعیین سن نهشته‌های کرتاسه زیرین در گزارش‌های مانند & Bachman Schroeder (۲۰۰۶)، بابازاده و همکاران (۱۳۸۹)، Hirsch et al. (2010) و طاهرپور خلیل‌آباد و Iba et al. (2011) استفاده شده است. گونه همکاران (۱۳۹۴ و ۱۳۹۳) در برش چینه‌شناسی *Palorbitolina lenticularis* طاهرآباد حضوری سرتاسری در توالی‌های کربناته داشته و این پدیده سبب گردید تا گستره حضور گونه فوق به صورت یک بایوزون اصلی تعریف گردد (جدول ۳).

بارمین پسین - آپتین پیشین، دو زیرزون محلی در محدوده
باپوزون اصلی موردنظر بحث نیز تعریف شده است.

ویژگی‌های هر یک از این بایوزون‌ها به شرح زیر است:

1. *Palorbitolina lenticularis* Range zone

این بایوزون گستره‌ای در بردارنده اولین و آخرین حضور گونه شاخص *Palorbitolina lenticularis* می‌باشد (*Palorbitolina lenticularis*). گونه *Schroeder et al., 2010*) گونه نسبتاً بزرگی بوده و طول آن در حدود ۱۰ میلی‌متر است. حجرات جنبی این گونه از یک پرولوکولوس و یک دوتروکونک و تعداد زیادی حجرات اپی‌امبریونیک تشکیل شده است. این گونه به عنوان یکی

جدول ۳: بایوزون های ارائه شده بر مبنای روزن داران گفزی و جلک های آهکی در سازند تیرگان و مقایسه آن ها با سایر بایوزون های سازند مذبور

خانواده اریتولینده به ویژه این گونه در بخش‌های بالای
برش فراهم شده است. با توجه به عدم کارایی بایوزون
تاقدیس اشلیر، دو بایوزن محلی به شرح زیر به عنوان
جایگزین برای این بایوزون جهانی معرفی شده است که در هر دو برش طاهر آباد و اشلیر کاربرد دارد:

در برش اشلیر برخلاف برش طاهرآباد، گستره حضور گونه *Palorbitolina lenticularis* تنها در نمونه‌های متعلق به بخش‌های انتهایی برش (حدوداً ۱۰ متری انتهایی برش اشلیر)، حجره‌های جنینی گونه مورد بحث شناسایی شد. در این برش، از آن جا که تمرکز رسوبات شیلی و شیل آهکی در بخش‌های زیرین بیش از طبقات سنگ آهکی می‌باشد، بنابراین شرایط زیست

فونای روزن‌داران *گستره بایوزون Balkhanica* در برش تاقدیس اشلیر از تنوع کمتری نسبت به برش طاهرآباد برخوردار بوده و شامل موارد زیر است:

Charentia cuvillieri, *Haplophragmoides joukowskyi*, *Istriloculina* sp., *Mayncina bulgarica*, *Melathrokerion valserinensis*, *Nautiloculina oolithica*, *Rumanoloculina robusta*, *Vercorsella scarsellai*.

مهم‌ترین گونه‌های جلبک‌های آهکی همراه این بایوزون در برش طاهرآباد نیز شامل موارد زیر می‌باشند:

Acicularia sp., *Arabicodium* sp., *Boueina* sp., *Boueina hochstetteri*, *Carpathoporella* sp.,

Deloffrella sp., *Deloffrella quercifoliipora*, *Girvanella* sp., Halimedaceae, *Holosporella* sp., *Marinella lugeoni*, *Montiella? elitzae*, *Neomeris cretacea*, *Permocaculus* sp., *Russoella radoicicae*. مهم‌ترین جلبک‌های آهکی همراه بایوزون *Balkhanica* در برش اشلیر عبارت‌اند از:

Acicularia sp., *Boueina* sp., *Boueina hochstetteri*, *Deloffrella quercifoliipora*, Halimedaceae, *Holosporella* sp., *Kopetdagaria sphaerica*, *Marinella lugeoni*, *Montiella? elitzae*, *Neomeris cretacea*, *Permocaculus* sp., *Russoella radoicicae*, *Terquemella* sp.

3- *Kopetdagaria sphaerica* subzone

این بایوزون کل محدوده حضور گونه *Kopetdagaria sphaerica* Maslov, 1960 در برش‌های مطالعه را با ارزش چینه‌شناسی بارمین پسین - آپتین پیشین (بدولین) دربرمی‌گیرد. گونه *Kopetdagaria sphaerica* جلبکی آهکی با تالوس نیمه کروی همراه با بازشدگی در یک سمت و انشعابات اولیه نیمه کروی و گودال مانند است. انشعابات با سطح داخلی و خارجی تالوس متصلند و در برش‌های مماسی آن، برش‌های ۵ ضلعی از انشعابات با ابعاد بسیار بزرگ مشاهده می‌شوند (Maslov, 1960). ضخامت

2- *Balkhania balkhanica* subzone

این بایوزون که فاصله کامل ظهور تا انقراض گونه شاخص *Balkhania balkhanica* را در برمی‌گیرد در قالب یک *Balkhania* بیوزون محلی معروفی شده است. گونه *Balkhania* از روزن‌داران با پوسته بزرگ آزاد مگالوسفریک و پرولوکولوس بیضوی و صفحه‌ای شکل است و طول آن ممکن است به بیش از ۱۵ میلی‌متر نیز برسد. بیش از ۳۰ حجره کاملاً حلقوی داشته و دیواره آن آهکی با لایه خارجی بدون منفذ و شبکه زیر پوستی شوفاتلوئید است (Loeblich & Tappan, 1988) بایوزون *Balkhania balkhanica* دارای ارزش انطباق زیست چینه‌ای منطقه‌ای بوده و نشان دهنده محدوده زمانی بارمین پسین می‌باشد، هرچند ممکن است پایان آن دقیقاً منطبق بر پایان بارمین نباشد. ضخامت بایوزون *Balkhania* در برش‌های چینه‌شناسی طاهرآباد و اشلیر به ترتیب ۲۰/۶۵ و ۳۷ متر بوده و شامل واحدهای کربناته بخش پایینی سازند تیرگان در این دو برش است. این بایوزون پیش‌تر، توسط طاهرپور خلیل‌آباد (۱۳۹۲) و طاهرپور خلیل‌آباد و همکاران (۱۳۹۳) در برش چینه‌شناسی سیساب از سازند تیرگان معروفی شده است. جدول ۴، مقایسه بایوزون‌های سه گانه فوق با دیگر مناطق شناخته شده حوضه نئوتیس را نشان می‌دهد. مهم‌ترین روزن‌داران همراه این بایوزون در برش طاهرآباد مشتمل بر گونه‌های زیر هستند:

Charentia cuvillieri, *Comaliamma* sp., *Haplophragmoides joukowskyi*, *Haplophragmoides* sp., *Istriloculina eliptica*, *Istriloculina* sp., *Lenticulina* sp., *Nautiloculina oolithica*, Orbitolinids, *Palorbitolina lenticularis*, *Quinqueloculina* sp., *Rumanoloculina cf. pseudominima*, *Rumanoloculina robusta*, *Rumanoloculina* sp., *Torinosuella peneropliformis*, *Vercorsella scarsellai*.

جدول ۴: بایوزون‌های ارائه شده بر مبنای روزن‌داران کفزی و جلبک‌های آهکی در این پژوهش و مقایسه آن‌ها با دیگر مناطق جهانی حاشه‌یه نویتبسیس

Eastern Levant (Southern border of the Tethyan Ocean)		Southern Croatia (Southern of the Adriatic Platform)		Taher-abad Section (East of Kopet-Dagh Basin)		Eshlir Section (East of Kopet-Dagh Basin)	
Larger benthic foraminiferal biozones (LBFB)		Biozones		Biozones		Biozones	
Defining FO / LO	Name	Lower	Upper	Lower	Upper	Lower	Upper
O. (Mesorbitolina) parva	Orbitolina (Mesorbitolina) texana	Barremian	Applan	Albian	Stagae	Upper	Mid.
O. (Mesorbitolina) loizei	Mesorbitolina gr. subconcava zone	Barremian	Applan	Albian	Stagae	Upper	Mid.
Praeorbitolina cornyi	Mesorbitolina texana zone	Barremian	Applan	Albian	Stagae	Upper	Mid.
O. (Mesorbitolina) loizei	Mesorbitolina lenticularis zone	Barremian	Applan	Albian	Stagae	Upper	Mid.
Praeorbitolina cornyi	Palorbitolina cf. officula subzone	Barremian	Applan	Albian	Stagae	Upper	Mid.
O. (Mesorbitolina) loizei	Palorbitolina ultima subzone	Barremian	Applan	Albian	Stagae	Upper	Mid.
Praeorbitolina cornyi	Praeorbitolina cornyi zone	Barremian	Applan	Albian	Stagae	Upper	Mid.
Praeorbitolina lenticularis	Palorbitolina lenticularis zone	Barremian	Applan	Albian	Stagae	Upper	Mid.
Monticella arabica	Monticella arabica subzone	Barremian	Applan	Albian	Stagae	Upper	Mid.
Eopraeorbitolina transiens Zone							
Husinec & Sokac (2006)							
Lower Cretaceous		Schroeder et al. (2010)		Bachmann & Hirsch (2006)		This study	
Lower	Upper	Lower	Upper	Lower	Upper	Lower	Upper
Bedoulien	Gargassen	Gargassen	Clynesaystein	FO / M.L.	FO / P.	FO / P.	FO / P.
Applan	Applan	Applan	Applan	FO / P.	FO / P.	FO / P.	FO / P.
Barremian	Barremian	Barremian	Barremian	Substage	Substage	Substage	Substage
S Stage	S Stage	S Stage	S Stage	Series	Series	Series	Series

بایوزون *Kopetdagaria sphaerica* در برش‌های چینه‌شناسی طاهرآباد و اشلیر به ترتیب $\frac{43}{35}$ و $\frac{40}{39}$ متر بوده و بخش اعظمی از واحدهای کربناته این دو برش را به خود اختصاص داده است. این بایوزون پیش‌تر، توسط طاهرپور خلیلآباد (۱۳۹۲) و طاهرپور خلیلآباد و همکاران (۱۳۹۳) در برش چینه‌شناسی زاوین، قشقه، آبدراز، چناران، علی‌آباد و سیساب از سازند تیرگان معرفی شده است. مهم‌ترین روزن‌داران همراه این بایوزون در برش طاهرآباد عبارت‌اند از:

Andersenolina alpina, *Charentia cuvillieri*, *Lenticulina* sp., *Mayncina bulgarica*, *Melathrokerion valserinensis*, *Nautiloculina oolithica*, *Neotrocholina aptiensis*, *Orbitolinids*, *Quinqueloculina* sp.

روزن‌داران به دست آمده از برش اشلیر در گستره بایوزون *Kopetdagaria sphaerica* تنوع بیشتری از برش طاهرآباد دارند. این روزن‌داران عبارت‌اند از:

Charentia cuvillieri, *Dictyoconus* sp., *Haplophragmoides joukowskyi*, *Istriloculina eliptica*, *Istriloculina* sp., *Lenticulina* sp., *Melathrokerion valserinensis*, *Nautiloculina oolithica*, *Neotrocholina aptiensis*, *Novalesia cf. producta*, *Orbitolinid*, *Palorbitolina lenticularis*, *Quinqueloculina* sp., *Rumanoloculina robusta*, *Vercosella arenata*, *Vercosella scarsellai*.

همچنین مهم‌ترین جلبک‌های آهکی و ریزمرجانی همراه

این بایوزون در برش طاهرآباد شامل موارد زیر می‌باشد: *Arabicodium* sp., *Boueina* sp., *Boueina hochstetteri*, *Cayeuxia* sp., *Coptocampylodon* sp., *Girvanella* sp., Halimedaceae, *Kopetdagaria sphaerica*, *Montiella? elitzae*, *Neomeris cretacea*, *Periocaculus* sp.,

این جلبک‌های آهکی نیز با تنوع کمتر در برش اشلیر حضور دارند و شامل فرمها و گونه‌های زیر هستند:

Boueina sp., *Boueina hochstetteri*, *Coptocampylodon* sp., Halimedaceae, *Montiella? elitzae*, *Neomeris cretacea*, *Russoella radoicicæ*, *Terquemella* sp.

علاوه بر همه موارد فوق، نتایج حاصل از بررسی محتوای پالینومorf های موجود در بخش های شیلی دو برش چینه شناسی مورد مطالعه، حاکی از وجود داینوفلازله های *Cribroperidinium cf. tenuiceras* و *Odontochitina operculata* *Muderongia staurota* در اسلاید های *Pseudoceratium pelliferum* پالینولوژیکی تهیه شده است. محدوده سنی این گونه ها در Oosting et al. (2004) Helby et al. (2006) Deaf et al. (2006) و (2015) بارمین پسین - آپتین پیشین بوده که با سن ارائه شده بر اساس گونه های شاخص روزن داران و جلبک های آهکی همخوانی خوبی دارد

(پلیت ۵).

یکی از موارد قابل توجه در برش های مورد مطالعه، وجود گونه *Deloffrella quercifoliipora* از راسته داسی کلاداسه آمی باشد. این گونه متعلق به خانواده *Triploporellaceae* با انتشار چینه شناسی کیمریجین - آپتین، از گونه های مهم در تعیین سن توالی های بخش شمالی حوضه تیس می باشد، اگرچه در اغلب مقالات و گزارش های منتشر شده، آخرین حضور این گونه بارمین پسین در نظر گرفته شده است (به عنوان مثال: Bucur, 2002a, 2008, 2011). از این رو آخرین حضور این گونه تیز می تواند به منظور تعیین مرز بارمین - آپتین پیشنهاد شود.

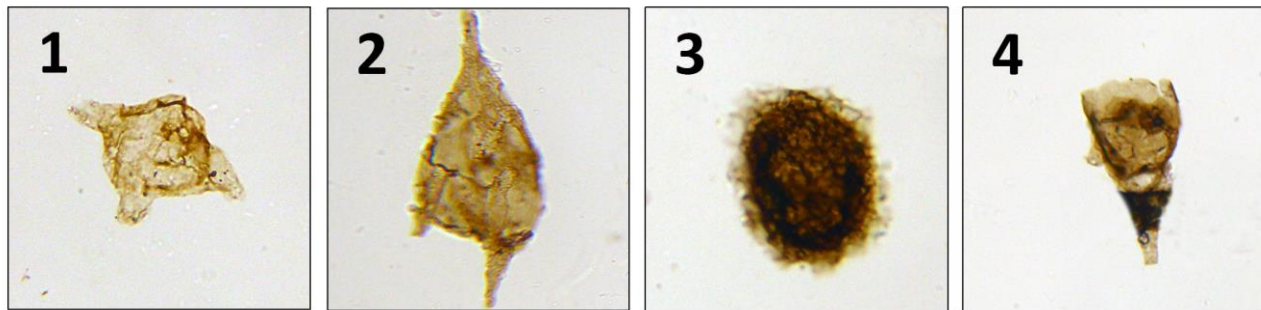


Plate 5: Dinoflagellate from the Tigran Formation in Eshlir section (Scale bar is 40X); 1. *Muderongia staurota*; 2. *Pseudoceratium pelliferum*; 3. *Cribroperidinium cf. tenuiceras*; 4. *Odontochitina operculata*

Balkhania و *Kopetdagaria sphaerica* subzone
شناصایی گردید که تماماً مؤید سن *balkhanica* subzone بارمین پسین - آپتین پیشین برای برش های چینه شناسی مورد مطالعه می باشد. این سن، با نتایج به دست آمده از مطالعه داینوفلازله های به دست آمده از چند نمونه شیلی برداشت شده از این دو برش همخوانی دارد. بایوزون های *Balkhania* و *Kopetdagaria sphaerica* subzone *balkhanica* subzone می توانند به عنوان جایگزین مناسبی برای زون بندی برش های چینه شناسی فاقد روزن داران اوریتولینیدی در حوضه کپه داق، به ویژه در بخش های خاوری که کم فسیل تر هستند، به کار روند.

نتیجه گیری

بر اساس مطالعات ریزدیرینه شناسی سیستماتیک صورت گرفته بر روی ۱۰۰ نمونه سنگی برداشت شده از برش های چینه شناسی طاهر آباد و تاقدیس اشلیر، ۱۷ جنس و ۲۱ گونه از روزن داران کفزی و ریزمرجانیان در برش طاهر آباد و ۱۷ جنس و ۱۹ گونه از روزن داران کف زی و ۱۲ جنس و ۱۶ گونه از جلبک های آهکی و ریزمرجانیان در برش تاقدیس اشلیر شناسایی شده است. با توجه به گستره حضور *Kopetdagaria*, *Palorbitolina lenticularis*, *Balkhania balkhanica* و *sphaerica*, *Palorbitolina lenticularis Range* zone

منابع

- افشار حرب، ع.، ۱۳۷۳. زمین شناسی ایران: زمین شناسی کپه داغ. سازمان زمین شناسی و اکتشافات معدنی کشور. ۲۷۵.
- آقاباتی، ع.، ۱۳۸۳. زمین شناسی ایران. سازمان زمین شناسی و اکتشافات معدنی کشور، ۵۸۶.
- جوانبخت، م.، موسوی حرمی، س. ر.، محبوبی، ا.، ۱۳۹۲. تاریخچه رسوبگذاری و چینه نگاری سکانسی سازند تیرگان (بارمین - آپسین) در نواحی غربی و مرکزی کپه داغ، شمال شرق ایران. رخساره‌های رسویی، ۲(۶): ۱۶۲-۱۸۵.
- خدادای، ل.، هادوی، ف.، ۱۳۹۱. نانواستراتیگرافی و پالئوکولوژی گذر سازندهای تیرگان و سرچشمه در دو برش مزدوران و طاهرآباد (شرق حوضه کپه داغ). نشریه علمی - پژوهشی رخساره‌های رسویی، ۵(۲): ۱۹۶-۲۱۰.
- داوطلب، ا.، قاسمی نژاد، ا.، وحیدی نیا، م.، عاشوری، ع. ر.، ذیبی، ف.، ۱۳۹۳. زیست چینه نگاری سازند تیرگان براساس پالینومorfها و روزنداران کف‌زی در شرق حوضه رسویی کپه داغ. هشتمین همایش انجمن دیرینه‌شناسی ایران، دانشگاه زنجان، ۴۴.
- ریوندی، ب.، نجفی، م.، موسوی حرمی، س. ر.، محبوبی، ا.، وحیدی نیا، م.، ۱۳۸۹. چینه نگاری زیستی سازند تیرگان در دو ناحیه جوزک و چمن بید واقع در غرب حوضه رسویی کپه داغ. نشریه علمی - پژوهشی پژوهش‌های چینه نگاری و رسوب شناسی، ۲۶(۴): ۱۱۰-۱۱۹.
- طاهرپور خلیل آباد، م.، وزیری، س. ح.، عاشوری، ع. ر.، ۱۳۹۴. معرفی گونه *Palorbitolina lenticularis* (Blumenbach, 1805)، تاکسون شاخص حوضه تیس به همراه ویژگی‌های زیستی آن از حوضه رسویی کپه داغ، شمال خاور ایران. ۱۳۴-۱۲۱.
- طاهرپور خلیل آباد، م.، وزیری، س. ح.، آریایی، ع. ا.، عاشوری، ع. ر.، ۱۳۹۳. کاربرد روزن بران کف‌زی و جلبک‌های آهکی در تعیین مرز توالی‌های بارمین پسین - آپتین پیشین (مطالعه مورده سازند تیرگان در غرب حوضه رسویی کپه داغ). دوفصل نامه علمی - پژوهشی دیرینه‌شناسی (تحت چاپ).
- طاهرپور خلیل آباد، م.، ۱۳۹۲. چینه نگاری سنگی و ریز چینه نگاری زیستی (روزنداران و جلبک‌های آهکی) سازند تیرگان در حوضه رسویی کپه داغ، شمال شرق ایران. رساله دکتری تخصصی، دانشگاه آزاد اسلامی واحد تهران شمال، ص ۴۱۷.
- محققی، م.، هادوی، ف.، رحیمی، ب.، ۱۳۹۰. نانواستراتیگرافی مرز سازندهای تیرگان - سرچشمه دربرش قلعه زو (غرب کپه داغ). نشریه علمی - پژوهشی رخساره‌های رسویی، ۴(۱): ۱۲۴-۱۰۸.
- موسوی زاده، س. م. ع.، محبوبی، ا.، موسوی حرمی، س. ر.، نجفی، م.، ۱۳۸۷. رخساره‌های رسویی و چینه نگاری سکانسی سازند تیرگان در برش‌های جوزک و چمن بید در غرب حوضه رسویی کپه داغ و انطباق با نواحی شرق حوضه. مجله پژوهشی دانشگاه اصفهان (علوم پایه)، ۳۲: ۵۶-۳۳.
- هاشمیان، ن.، آریایی، ع. ا.، ۱۳۸۶. معرفی گونه‌های از خارپستان سازند تیرگان. اولین همایش انجمن دیرینه‌شناسی ایران، سازمان حفاظت محیط زیست کشور، تهران.

همتی، س..، عاشوری، ع.ر..، قادری، ع..، طاهر پور خلیل آباد، م..، ۱۳۹۴. روزن داران کف زی و جلبک های آهکی سازند تیرگان در برش چینه شناسی طاهر آباد (خاور حوضه رسوی کپه داغ). نهمین همایش انجمن دیرینه شناسی ایران، دانشگاه فردوسی مشهد. ۱۴۵-۱۵۰.

- Bachmann, M., & Hirsch, F., 2006. Lower Cretaceous carbonate platform of the eastern Levant (Galilee and the Golan Heights): stratigraphy and second-order sea-level change. *Cretaceous Research*, 27: 487-512.
- Bucur, I.I., 2011. Early Barremian dasycladalean algae from Serre de Bleyton (Drôme, SE France). *Annalen des Naturhistorischen Museums in Wien, Serie A*, 619-653.
- Bucur, I.I., Majidifard, M.R., & Senowbari-Daryan, B., 2013. Early Cretaceous calcareous benthic microfossils from the eastern Alborz and western Kopet Dagh (northern Iran) and their stratigraphic significance. *Acta Palaeont. Romaniae*, 9 (1): 23-37.
- Bucur, I.I., Rashidi, K., & Senowbari-Daryan, B., 2011. Early Cretaceous calcareous algae from central Iran (Taft Formation, south of Aliabad, near Yazd). *Facies*, 58 (4): 605-636.
- Bucur, I.I., Sasaran, E., 2005. Relationship between algae and environment: an Early Cretaceous case study, Trascau Mountains, Romania. *Facies*, 51: 274-286
- Carevic, I., Taherpour Khalil Abad, M., Ljubovic-Obradovic, D., Vaziri, S.H., Mirkovic, M., Aryaei, A.A., Stejic, P., & Ashouri, A.R., 2013. Comparisons between the Urgonian platform carbonates from eastern Serbia (Carpatho-Balkanides) and northeast Iran (Kopet-Dagh Basin): Depositional facies, microfacies, biostratigraphy, palaeoenvironments and palaeoecology. *Cretaceous Research*, 40: 110-130.
- Granier, B., & Michaud, F., 1987. *Deloffrella quercifoliipora* n. gen. n. sp., une Algue Dasycladacée nouvelle du Kimméridgien et du Portlandien du Sud-Est du Mexique. *Bulletin de la Société géologique de France*, Paris, (8ème série), III (6): 1089-1096.
- Granier, B., 2013. *Dissocladella hauteriviana* MASSE in MASSE et al., 1999 (non MASSE, 1976), another lower Urgonian Dasycladalean alga revisited. *Carnets de Géologie*, Letter 2013/07 (CG2013-L07): 1-9.
- Granier, B., Clavel, B., Charlloais, J., & Weidmann, M., 2014. Latest Jurassic – Early Cretaceous Dasycladalean algae (Chlorophyta) from the Morand Drilling at Montricher (Canton of Vaud, Switzerland). *Acta Palaeontologia Romaniae*, 10 (1-2): 25-38.
- Henson, F.R.S., 1948. Larger Imperforate Foraminifera of Southwestern Asia: Families Lituolidae, Orbitolinidae and Meandropsinidae. British Museum (Natural History), 127 p.
- Hosseini, S.A., Conrad, M., 2008. Calcareous algae, foraminifera and sequence stratigraphy of the Fahliyan Formation at Kuh-e-Surmeh (Zagros Basin, SW of Iran). *Geologia Croatica*, 61 (2-3): 215-237.
- Husinec, A., & Sokac, B., 2006. Early Cretaceous benthic associations (foraminifera and calcareous algae) of a shallow tropical-water platform environment (Mljet Island, southern Croatia). *Cretaceous Research*, 27: 418-441.
- Husinec, A., Velić, I., Sokač, B., 2009, Diversity patterns in mid-Cretaceous benthic foraminifers and dasyclad algae of the southern part of Mesozoic Adriatic Platform, Croatia. In: Demchuk, J., & Gary, A., (eds.), Geologic Problem Solving with Microfossils, *SEPM Special Publication* 93: 153-170.
- Ivanova, D., & Kolodziej, B., 2010. Late Jurassic-Early Cretaceous foraminifera from Stramberk-type limestones, Polish Outer Carpathians, *Studia Universitatis Babeş-Bolyai, Geologia*, 55 (2): 3 – 31
- Kalantari, A., 1969. Foraminifera from the middle-Jurassic-Cretaceous successions of Kopet-Dagh region (N.E. IRAN). Tehran, NIOC. *Geol.Laboratories, Publication*. no.3, Ph.D. thesis, London University.
- Loeblich, A.R., & Tapani, H., 1988. Foraminiferal Genera and Their Classification. *Van Nostrand Reinhold Company*: New York, pp. 66-336.
- Parvaneh Nejad Shirazi, M., 2009. Green algae from the Lower Cretaceous carbonates of northern Shiraz (Zagros Mountains, SW Iran). *Historical Biology*, 21: 91–98.
- Parvaneh Nejad Shirazi, M., Amiri Bakhtiar, H., Mostatabi, M., Armon, A., 2013. Lithostratigraphy and Biostratigraphy of Gadvan and Dariyan formations in Gachsaran Oilfield by

- Investigation of Wells Number 55 and 83. *Journal of Basic and Applied Scientific Research*, 3 (12): 56-63.
- Rahaghi A., 1976, Contribution a l'étude de quelques Grands Foraminifères de l'Iran part, pt 1-3, N.I.O.C., Publication no: 6, p. 1-68.
- Rami, M., Vaziri, M.R., Taherpour Khalil Abad, M., Hosseini, S.A., Carevic, I., Allameh, M., 2012. Microbiostratigraphy of the Lower Cretaceous strata from the Bararig Mountain, SE Iran. *Revista Mexicana de ciencias Geologicas*, 29 (1): 63-75.
- Ruttner, A.W., 1993. Southern borderland of Triassic Laurasia in northeast Iran. *Geol. Rund.*, 82: 110-120.
- Schroeder, R., van Buchem, F.S.P., Cherchi, A., Baghbani, D., Vincent, B., Immenhauser, A., Granier, B., 2010. Revised orbitolinid biostratigraphic zonation for the Barremian –Aptian of the eastern Arabian Plate and implications for regional stratigraphic correlations. *GeoArabia Special Publication* 4 (1): 49-96.
- Stampfli, G. M., Borel, G. D., Marchant, R. & Mosar, J. 2002. Western Alps geological constraints on western Tethyan reconstructions. In: Rosenbaum, G. and Lister, G. S. 2002. Reconstruction of the evolution of the Alpine-Himalayan Orogen. *Journal of the Virtual Explorer*, 8: 77 - 106.
- Stampfli, G.M., & Borel, G.D., 2004. The TRANSMED transects in space and time: constraints on the paleotectonic evolution of the Mediterranean domain. In: Cavazza W., Roure F., Spakman W., Stampfli G.M., Ziegler P.A. (eds.), The TRANSMED Atlas: The Mediterranean region from crust to mantle. Springer Berlin Heidelberg, 53-80.
- Taherpour Khalil Abad, M., Conrad, M.A., Aryaei, A.A. & Ashouri, A.R., 2010. Barremian-Aptian dasycladalean algae, new and revisited, from the Tiran Formation in the Kopet Dagh, NE Iran. *Carnets de Géologie*, Art 2010/05 (CG2010-A05): 1-13.
- Taherpour Khalil Abad, M., Schlagintweit, F., Vaziri, S.H., Aryaei, A.A., & Ashouri, A.R., 2013. *Balkhania balkhanica* Mamontova, 1966 (benthic foraminifera) and *Kopetdagaria sphaerica* Maslov, 1960 (dasycladalean alga) from the Lower Cretaceous Tiran Formation of the Kopet Dagh mountain range (NE Iran) and their paleobiogeographic significance. *Facies*, 59 (1): 267–285.
- Taherpour Khalil-Abad, Aryaei, A.A., Ashouri, A.R., & Hosseini, A., 2010. Benthic foraminiferal assemblages in Tiran formation (Urgonian facies type), West of Kopet-Dagh sedimentary basin, NE of Iran. *The 1st International Applied Geological Congress, Islamic Azad University-Mashad Branch*, pp. 1027-1032.
- Vanneau, A.A., Silva, I.P., 1995. Biostratigraphy and systematic description of benthic Foraminifers from mid-cretaceous shallow-water platform sediment at site 878 and 879 (Mit and Takuyo-Daisan Guyots). *Proceedings of the Ocean Drilling Program, Scientific Results*, 144: 1-21.
- Wilmsen, M., Fürsich, F.T., & Majidifard, M.R., 2015. An overview of the Cretaceous stratigraphy and facies development of the Yazd Block, western Central Iran. *Journal of Asian Earth Sciences*, 102: 73–91.
- Yadav, P.R. 2003. Fossils. *Discovery Publishing House*, p. 30.
- Yazdi moghadam, A. Amiri, F., 2010. Lower Cretaceous Agglutinating Larger Benthic Foraminifera from the Sarvestan Section, south of Esfahan, Iran. *The 1st International Applied Geological Congress, Islamic Azad University-Mashad Branch*, pp. 976-980.

Applications and limitations of benthonic foraminifera and calcareous algae in biozonation of the Tigran Formation: examples from Taher-Abad and Eshlir stratigraphic sections in the Eastern Kopet-Dagh

Hemmati, S.¹, Ghaderi, A.^{2*}, Ashouri, A.R.³, Taherpour Khalil Abad, M.⁴

1- M.Sc. in Paleontology & Stratigraphy, Department of Geology, Faculty of Science, Ferdowsi University of Mashhad, Mashhad, Iran

2- Assistant Professor, Department of Geology, Faculty of Science, Ferdowsi University of Mashhad, Mashhad, Iran

3- Professor, Department of Geology, Faculty of Science, Ferdowsi University of Mashhad, Mashhad, Iran

4- Young Researchers and Elite Club, Mashhad Branch, Islamic Azad University, Mashhad, Iran

*E-mail: aghaderi@um.ac.ir

Introduction

The Tigran Formation, as a cliff forming carbonate stratigraphic unit, consists of medium to thick bedded gray limestone with some thin intercalations of shales, considered as a probable hydrocarbons reservoir rock in the Kopet-Dagh basin (Robert *et al.*, 2014). Throughout the basin, this formation overlaid the red siliciclastic succession of the Shurijeh Formation and overlain by the gray shales of the Sarcheshmeh Formation. Relative age of the Tigran Formation, especially on the western Kopet-Dagh sections, have been discussed in a lot of publications (*e.g.*, Kalantari, 1969; Rivandi *et al.*, 2010; Khodadadi & Hadavi, 2012; Carevic *et al.*, 2013; Bucur *et al.*, 2013; Taherpour *et al.*, 2013). However the provided results are not practical for many of the sections particularly in the eastern parts of the basin. The outcomes of different biostratigraphical tools such as orbitolinids and calcareous nannofossils are dissimilar and it is not possible to find them in all paleoenvironments, especially in the shallower settings. Embryonic chambers of orbitolinids as the most important characters of their taxonomy (Schroeder *et al.*, 2010) are absent in most of specimens, not possible to find them even in the serial sections. The previously introduced biozones based on the foraminifera are problematic and the name of some biozone maker fossils had been chosen in a wrong way (for example *Dictyoconus arabicus* in Rivandi *et al.*, 2010). In addition, pelagic macrofauna like ammonites as the fundamental biostratigraphic tool for dating of the Cretaceous marine environments are invisible in the eastern outcrops of the Tigran Formation. Due to these limitations, we try to use a new tool for biostratigraphy and provide a suitable explanation for relative age of the sequences at least in the Taher-Abad and Eshlir anticline sections, east of Kopeh-Dagh. These two stratigraphic sections are respectively located at the distance of 75 and 95 kilometers northeast of Mashhad City. Totally, more than 150 thin sections belong to 100 limestone samples have been prepared. Furthermore, 25 shale samples for palynological investigations were taken and studied.

Results and Discussion

Micropaleontological studies on the Tigran Formation is led to identification of 17 genera and 21 species of the benthonic foraminifera and 16 genera and 20 species of the calcareous algae in the Taher-Abad section. They are as follow: *Andersenolina alpina*, *Balkhania balkhanica*, *Charentia cuvillieri*, *Comaliamma* sp., *Dictyoconus* sp., *Haplophragmoides joukowskyi*, *Haplophragmoides* sp., *Istriloculina elliptica*, *Istriloculina* sp., *Lenticulina* sp., *Mayncina bulgarica*, *Melathrokerion valserinensis*, *Nautiloculina oolithica*, *Neotrocholina aptiensis*, Orbitolinids, *Palorbitolina lenticularis*, *Quinqueloculina* sp., *Rumanoloculina robusta*, *Rumanoloculina* cf. *pseudominima*, *Rumano-lokulina* sp., *Torinosuella peneropliformis*, *Vercorsella scarsellai*, *Acicularia* sp., *Arabicodium* sp., *Boueina* sp., *Boueina hochstetteri*, *Cayeuxia* sp., *Carpathoporella* sp., *Coptocompylodon* sp., *Deloffrella* sp., *Deloffrella quercifoliipora*, *Girvanella* sp., *Halimedaceae*, *Holosporella* sp., *Kopetdagaria sphaerica*, *Marinella lugeoni*, *Montiella? elizae*, *Neomeris cretacea*, *Permocaculus* sp., *Russoella radoicicae*, *Terquemella* sp.. In addition, 17 genera and 19 species of benthonic foraminifera and 12 genera and 16 species of calcareous algae are recognized in the Eshlir section. They comprise *Andersenolina alpina*, *Balkhania balkhanica*, *Charentia cuvillieri*, *Dictyoconus* sp., *Haplophragmoides joukowskyi*, *Istriloculina elliptica*, *Istriloculina* sp., *Lenticulina* sp., *Mayncina bulgarica*,

Melathrokerion valserinensis, *Nautiloculina oolithica*, *Neotrocholina aptiensis*, *Novalesia cf. producta*, Orbitolinids, *Palorbitolina lenticularis*, *Quinqueloculina* sp., *Rumanoloculina robusta*, *Torinosuella peneropliformis*, *Vercosella arenata*, *Vercorsella scarsellai*, *Acicularia* sp., *Boueina* sp., *Boueina hochstetteri*, *Coptocampylodon* sp., *Deloffrella* sp., *Deloffrella quercifoliipora*, Halimedaceae, *Holosporella* sp., *Kopetdagaria sphaerica*, *Marinella lugeoni*, *Montiella? elitzae*, *Neomeris cretacea*, *Permocaculus* sp., *Russoella radoicicae*, *Terquemella* sp.

The mentioned microfossils characterized three biozones in the sections: *Palorbitolina lenticularis* Range zone, *Kopetdagaria sphaerica* local zone and *Balkhania balkhanica* local zone. *Palorbitolina lenticularis* Range zone contains the first to last occurrences of the nominal species, demonstrates the Late Barremian – Early Aptian ages (Bachman & Hirsch, 2006) for the Taher-Abad section. This biozone is equivalent to two shorter local zones of *Balkhania balkhanica* and *Kopetdagaria sphaerica*. The first zone includes the entire existence of the *Balkhania balkhanica*, has a regional biostratigraphic value for the Late Barremian. The thickness of *Balkhania balkhanica* zone in the Taher-Abad and Eshlir sections is respectively 20.65 and 37 meters, includes the carbonate units of the lower part of the Tigran Formation. The second zone comprises the whole range of *Kopetdagaria sphaerica* in the studied sections, confirms the Late Barremian to Earlier Aptian (Bedoulian). Because of the incompleteness of *Palorbitolina lenticularis* Range zone in the Eshlir section, it is not possible to simply use of that. Instead, the later defined shorter *Balkhania balkhanica* and *Kopetdagaria sphaerica* biozones are appropriately useful in the Eshlir section. This biozone has a thickness of 43.35 and 39.65 meters in Taher-Abad and Eshlir, occupies a major upper part of the carbonate rocks of these two sections.

Conclusion

In the absence of proper orbitolinid fauna as the index benthonic fossils of the Early Cretaceous (Late Barremian – Early Aptian), the *Balkhania balkhanica* and *Kopetdagaria sphaerica* biozones have a worthy performance in the age dating of the Tigran Formation, particularly in the eastern Kopet-Dagh. These ages have been examined by palynological contents of the shaly intervals. Some species such as *Cribroperidinium* cf. *tenuiceras*, *Muderongia staurota*, *Odontochitina operculata* and *Pseudoceratium pelliferum* which formerly reported from the Late Barremian – Early Aptian strata of Australia and Egypt (e.g., Oosting *et al.*, 2006; Deaf *et al.*, 2015) confirm the proposed age by foraminifera and calcareous algae.

Key words: Tigran Formation; Eshlir anticline; Taher-Abad; benthonic foraminifera; calcareous algae; Kopet-Dagh.

References

- Bachmann, M., & Hirsch, F., 2006. Lower Cretaceous carbonate platform of the eastern Levant (Galilee and the Golan Heights): stratigraphy and second-order sea-level change. *Cretaceous Research*, 27: 487-512.
- Bucur, I.I., Majidifard, M.R., Senowbari-Daryan, B., 2013. Early Cretaceous calcareous benthic microfossils from the eastern Alborz and western Kopet Dagh (northern Iran) and their stratigraphic significance. *Acta Palaeont. Romaniae*, 9 (1): 23-37.
- Carevic, I., Taherpour Khalil Abad, M., Ljubovic-Obradovic, D., Vaziri, S.H., Mirkovic, M., Aryaei, A.A., Stejic, P., & Ashouri, A.R., 2013. Comparisons between the Urgonian platform carbonates from eastern Serbia (Carpatho-Balkanides) and northeast Iran (Kopet-Dagh Basin): Depositional facies, microfacies, biostratigraphy, palaeoenvironments and palaeoecology. *Cretaceous Research*, 40: 110-130.
- Deaf, A. S., Harding, I. C., & Marshall, J. E. (2015). Early Cretaceous palynostratigraphy of the Abu Tunis 1x borehole, northern Western Desert, Egypt, with emphasis on the possible palaeoclimatic effect upon the range of *Dicheiropolis etruscus* in North Africa. *Palynology*, 1-29.
- Kalantari, A., 1969. Foraminifera from the middle-Jurassic-Cretaceous successions of Kopet Dagh region (N.E. IRAN). Tehran, NIOC. *Geol. Laboratories, Publication*. no.3, Ph.D. thesis, London University.
- Khodadadi, L., & Hadavi, F., (2012). Nannostratigraphy and palaeoecology of Tigran and Sarcheshmeh Formations in Taher-Abad and Mozduran sections (East of Kopeh-Dagh), *Sedimentary Facies*, 5 (2): 196-210.

- Oosting A.M., Leereveld H., Dickens G.R., Henderson R.A., Brinkhuis H., 2006. Correlation of Barremian-Aptian (mid-Cretaceous) dinoflagellate cyst ssemblages between the Tethyan and Austral realms. *Cretaceous Research*, Vol. 27, P. 792-813.
- Rivandi, B., Najafi, M., Mousavi Harami, S.R., Mahboubi, A., Vahidinia, M., 2010. Biostratigraphy of the Tiran Formation at Jozak and Chaman-bid areas, west of Kopet-Dagh basin. *Journal of Stratigraphy and Sedimentary Researches*, 26 (4): 89-110 [In Farsi].
- Robert, A.M.M., Letouzey, J., Kavoosi, M.A., Sherkati, S., Müller, C., Vergés, J., & Aghababaei, A., 2014. Structural evolution of the Kopet Dagh fold-and-thrust belt (NE Iran) and interactions with the South Caspian Sea Basin and Amu Darya Basin. *Marine and Petroleum Geology*, 57: 68-87.
- Schroeder, R., van Buchem, F.S.P., Cherchi, A., Baghbani, D., Vincent, B., Immenhauser, A., Granier, B., 2010. Revised orbitolinid biostratigraphic zonation for the Barremian –Aptian of the eastern Arabian Plate and implications for regional stratigraphic correlations. *GeoArabia Special Publication* 4 (1): 49-96.
- Taherpour Khalil Abad, M., Schlagintweit, F., Vaziri, S.H., Aryaei, A.A., & Ashouri, A.R., 2013. *Balkhania balkhanica* Mamontova, 1966 (benthic foraminifera) and *Kopetdagaria sphaerica* Maslov, 1960 (dasycladalean alga) from the Lower Cretaceous Tiran Formation of the Kopet Dagh mountain range (NE Iran) and their paleobiogeographic significance. *Facies*, 59 (1): 267–285.